引用格式:陈璇玙,陈跋发,师肖飞,王梓亘. 准噶尔盆地中部地区混源原油正构烷烃氢同位素特征及地质意义 [J/OL],沉积学报, 2025, DOI: 10.14027/j.issn.1000-0550.2025.020. CSTR: 32268.14/j.ejxb.62-1038.2025.020. [CHEN Xuanyu, CHEN Jianfa, SHI Xiaofei, WANG Zigen. Fielding et al. Molecular Isotope (δ²Η) Composition Traits and Geological Significance of Petroleum n-alkanes in Junggar Basin Hinterland, NW China[J/OL]. Acta Sedimentologica Sinica, 2025, DOI: 10.14027/j.issn.1000-0550.2025.020. CSTR: 32268.14/j.ejxb.62-1038.2025.020.]

准噶尔盆地中部地区混源原油正构烷烃氢同位素特征 及地质意义

陈璇玙1,陈践发1,师肖飞2,王梓亘1

1.中国石油大学(北京)地球科学学院,北京 102249

2.中海油能源发展股份有限公司工程技术分公司中海油实验中心上海实验中心,上海 200941

摘 要 【目的】准噶尔盆地中部地区地质条件多变,原油性质复杂,为了解决该地区原油类型划分和油气来源问题,对准中混源油进行原油正构烷烃氢同位素组成($\delta^2 H_{alk}$)研究。【方法】应用 GC-MS、GC-IRMS、GC-TC-IRMS 技术,对来自不同层位的 27 个原油饱和烃进行了生物标志化合物分析和正构烷烃单体氢同位素测试。【结果】将准中地区原油划分出三种类型: I 类原油来自下侏罗统八道湾组(J_1b)煤系烃源岩,由于有大量陆源高等植物有机质输入,其氢同位素最轻; II 类原油主要来自下二叠统风城组(P_1f)烃源岩,其中 II_A 原油来自海陆过渡环境的潟湖相沉积, $Ga/C_{30}H$ 低,氢同位素较重, II_B 原油正构烷烃氢同位素较轻, $Ga/C_{30}H$ 比值较高; III 类原油主要来自中二叠统下乌尔禾组(P_{2W})烃源岩,正构烷烃氢同位素轻。【结论】将正构烷烃氢同位素与生物标志化合物手段相结合,可以精细划分原油类型,明确其来源,对整个准噶尔盆地油气勘探起到追踪油源并进行原油分类作用。

关键词 准噶尔盆地中部;正构烷烃氢同位素;生物标志化合物;混源原油分类;氢同位素影响因素 第一作者简介 陈璇玙,男,1994年出生,博士研究生,油气地球化学,E-mail: chenxuanyul126@outlook.com 通信作者 陈践发,男,教授,E-mail: jfchen@cup.edu.cn

中图分类号: P618.13 文献标志码: A 文章编号: 1000-0550(2025)00-0000-00

0 引言

氢是有机质中的重要组成部分,由于氢有较大的同位素分馏效应,会导致不同地质条件下氢同位素分布特征差异较大。Dawson et al. (2004)、Sessions (2016)研究认为正构烷烃氢同位素组成特征受环境、生物等因素综合控制,尤其是对于沉积环境的变化最为敏感。因此 Duan (2000, 2001)、Vinnichenko et al. (2021)认为通过正构烷烃氢同位素分析可以判定有机质来源,揭示古沉积环境的变化。原油正构烷烃单体氢同位素组成主要受沉积环境影响,不同来源的原油氢同位素特征分布不同。一般来说,陆相原油单体氢同位素组成大约在-200%~-120%,而海相原油单体氢同位素组成大约在-160%~-50%,明显比陆相有机质更加富氘(Li et al.,2001;Schimmelmann et al.,2004)。此外还受有机质母质类型影响,藻类等海洋低等生物 δ^2 Halk 较重,陆源高等植物 δ^2 Halk 较轻。 δ^2 Halk 受原油成熟度影响,热演化程度增加 δ^2 Halk 逐渐偏重,但是在一些高成熟度的原油中需要结合实际地质背景讨论,像在混

收稿日期: 2025-02-27; 收修改稿日期: 2025-06-04

基金项目: 国家自然科学基金项目 (41972127); 国家重点研发计划 (2021YFA0719000)

源油中不同成熟度混合的原油 δ^2 H_{alk} 会存在较大差异(Jia et al., 2013, 2017)。原油形成后次生作用对 δ^2 H_{alk} 的影响相对较小,其中生物降解程度越严重, δ^2 H_{alk} 越重(Asif et al., 2009),但也有学者发现同一来源原油,遭受严重生物降解原油与正常原油 δ^2 H_{alk} 范围一样(Jia et al., 2017)。而油气生成后的运移作用一般来说对 δ^2 H_{alk} 没有影响(王保忠等,2014)。因此,正构烷烃氢同位素组成可以作为油源对比工具,尤其是可以为解决混源油的来源问题提供分子指纹和同位素证据(赵孟军等,1994;段毅等,2003;卢鸿等,2004;Aboglila et al., 2010;朱信旭,2019;綦艳丽,2020)。

本次样品取自准噶尔盆地中部地区(下文简称准中地区)莫索湾凸起、盆1井西凹陷以 及沙湾凹陷,总共27个原油样品。准中地区经过多年的勘探,已发现多个油气藏。该地区 发育多套烃源岩,油、气源关系相对复杂,前人主要通过原油生物标志化合物和碳同位素组 成对准中地区原油地球化学特征以及成因来源进行研究(刘文锋等,2015;刘惠民等,2023; 宋永等,2024)。学者们统一将准中地区原油归为一类原油,该类全油碳同位素 δ^{13} C小于-29‰, 以 C₂₉ 甾烷为主,由于该类原油三环萜烷、伽马蜡烷(Ga)、β-胡萝卜烷丰度变化大,又可 以进一步划分成 5 个亚类(何登发等,2004;陶国亮等,2008;陈建平等,2016a,b;李博 偲等,2022)。王屿涛(1997)根据原油物性划分成五类分别是夏盐型、石西型、陆南型、 滴西型和滴南型;王绪龙等(2001,2013)根据三环萜烷相对丰度划分成四类,上升型、下 降型、山峰型、山谷型; 陈建平等(2016a)则根据原油碳同位素组成和生物标志化合物特 征将其细分为四个亚类。从前人对准中地区原油类型划分上可以看出,划分原油类型时选择 的参数越稳定,受干扰因素越少,分类越准确。但对于准中地区混源原油来说,由于原油混 合效应使得原油地球化学参数复杂多变,难以识别不同油源对混合原油的贡献,同一种原油 可能既具有风城组原油地化特征,又具有乌尔禾组原油地化特征。尤其是反映环境参数的生 标变化幅度大,解释起来尤为困难。而单体氢同位素作为指示沉积环境的有效指标,可以更 进一步对准中地区混源原油划分原油类型,明确原油来源,为该区域油气勘探提供重要参考 依据。

1 地质背景

准中地区位于准噶尔盆地腹部,以盆地中央坳陷带为主,本次研究的重点区域主要包括四个凹陷,分别为盆 1 井西、东道海子、沙湾及阜康凹陷,以及三个凸起带,分别为莫南、莫北和莫索湾凸起(图 1a)。

准噶尔盆地中部地区自下而上发育石炭系、二叠系、三叠系、侏罗系、白垩系、古近系、

新近系、第四系共 8 套地层(图 1b),其中二叠系、三叠系、侏罗系为准中地区主要烃源岩层(陈建平等,2016a,b)。石炭系地层为半深海—深海沉积地层,主要发育玄武岩、安山岩和火山碎屑岩。二叠系地层以陆相碎屑岩沉积为主,自下而上分别为下二叠统佳木河组(P₁y)、风城组(P₁y)、中二叠统夏子街组(P₂x)、下乌尔禾组(P₂w)和上二叠统上乌尔禾组(P₃w)。三叠系地层以冲积—河流相及湖相沉积为主。侏罗系地层主要发育砾岩、含砾砂岩,以及灰色、灰黑色泥质岩,局部夹煤层或煤线。白垩系地层岩相类型相较单一,在盆地内分布较为稳定以一套由泥质岩类组成的湖相沉积为主。盆地内新生界地层发育,为陆相沉积,构造格局与白垩系相似,岩性主要为暗红色与棕红色泥岩、砂质泥岩夹不等粒砂岩(陶国亮等,2008;Hu et al., 2016;Tao et al., 2016;寇晨辉,2017;Feng et al., 2019;刘刚等,2019;李博偲等,2022;师肖飞,2022)。



图 1 准噶尔盆地中部地区区域构造和地层图(寇晨辉,2017; 刘刚等,2019; 师肖飞,2022) (a) 准噶尔盆地中部地区区域构造图; (b) 准噶尔盆地中部地区地层图

Fig.1 Regional structure and stratigraphic map of the hinterland area of the Junggar Basin (Kou, 2017; Liu *et al.*, 2019; Shi, 2022)

(a) location of wells and structural units; (b) stratigraphic column

2 样品测试和结果

本次研究采集自准噶尔盆地中部地区 24 口井 27 个原油样品,大多数为黄褐色原油,属于中质油,部分为轻质油、凝析油或稠油。其中来自侏罗系储层原油 20 个,白垩系储层 4个,储层不清的原油 3 个。

由于异构烷烃会影响测量正构烷烃氢同位素值,所以要准确地测试单体烃的氢同位素,样品预处理至关重要。目前,从饱和烃中分离出正构烷烃的方法较多,但考虑操作步骤及经

济等方面的原因,本次实验采用分子筛络合法进行样品的预处理。样品处理步骤如下: (1) 称取 20~50 mg 原油样品并加入 30 mL 左右石油醚,放置 12 h 以上充分沉淀沥青质; (2) 用充填有脱脂棉的短颈漏斗过滤沥青质; (3) 润湿安装好的层析柱,对去除沥青质的原油样品分别用正己烷、二氯甲烷和甲醇做洗脱剂,依次进行族组分的分离,获得饱和烃、芳烃和非烃组分; (4) 在分离得到的饱和烃中加入活化后的 5A 分子筛和异辛烷,放置于加热台上,将温度设置为 60 ℃,加热一周使分子筛充分吸附正构烷烃; (5) 关闭加热台,将加热后的溶液静置 5 min 后倒掉溶液,再次加入异辛烷,每个样品重复此步骤 30 次彻底洗去异构烷烃; (5) 对吸附后的分子筛使用氢氟酸和石油醚进行破碎得到正构烷烃。

单体烃氢同位素测试仪器主要由三部分组成: (1)气相色谱仪,仪器型号为Agilent 7890B,色谱柱为石英毛细柱($60 \text{ m} \times 0.25 \text{ mm} \times 0.25 \text{ μm}$)载气为 He,起始温度为 80 °C,以 3 °C/min 升至 300 °C,并保持 30 min; (2) 同位素比质谱仪,仪器型号为 Elementar isoprime precision; (3) 裂解炉,型号为 Elementar GC5。氢同位素测试所用裂解炉温度为 1450 °C。样品经气相色谱仪分离成单分子化合物,进入高温裂解炉,有机质完全裂解,生成 H_2 、CO 和 C,C 沉淀于炉管上,CO 和 H_2 由载气送入同位素质谱仪测定氢同位素。单个碳氢化合物的同位素数据以千分之(‰)为单位,以常规 delta 表示法(即 δ^2 H)报告。每个样品至少进行三次测量,原油 δ^2 H 的三次测量的标准偏差《 ± 3 %。原油 δ^{13} C 三次测量的标准偏差《 ± 0.08 %。

3 原油地球化学特征

3.1 原油族组分特征

原油的族组成可以反映原始生油母质来源,还能反映原油生成后次生变化。对准中地区原油样品的族组分含量进行分析统计,来自不同层位原油族组分含量存在差异,并且来自不同地区原油族组分分布也存在不一致的情况,说明准中地区原油存在不同来源(图 2)。准中地区原油族组分中饱和烃含量明显高于其他组分,分布范围较广,60.85%~87.84%之间均有分布,平均值为72.91%; 芳烃含量介于5.45%~20.85%,平均值为13.56%; 非烃和沥青质含量介于6.15%~23.87%,平均值为13.53%(表 1)。

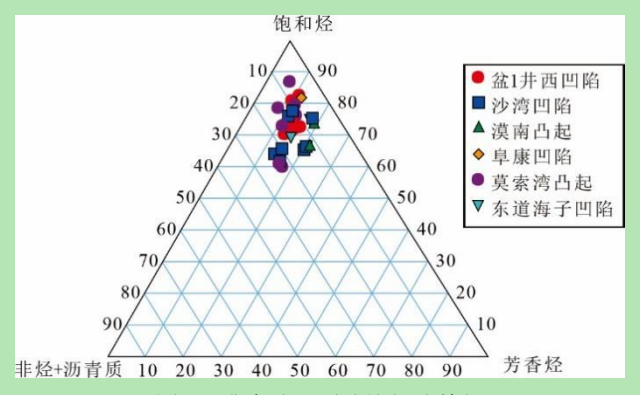


图 2 准中地区原油族组分特征

Fig.2 Group composition traits of oil from the Junggar Basin hinterland

表 1 准中地区原油族组成表

Table 1 Composition of oil samples from the Junggar Basin hinterland

	4474 P.	п.	沙 岸 /		原油族组成/	%
井号	构造区	层位	深度/m	饱和烃	芳香烃	非烃+沥青质
庄1	盆1井西凹陷	J_{1S}	4 353	73.48	15.19	11.33
庄 3	盆1井西凹陷	J_1s	4 072	75.86	11.85	12.29
庄 102	盆1井西凹陷	J_{1S}	4 269	72.21	13.62	14.17
庄 103	盆1井西凹陷	J_1s	4 278	71.21	12.14	16.65
庄 106	盆1井西凹陷	J_{1S}	4 307	73.08	14.34	12.58
庄 107	盆1井西凹陷	J_{1S}	4 274	83.42	10.16	6.42
征 1	沙湾凹陷	K_1tg	4.788	66.31	13.96	19.73
征 1	沙湾凹陷	J_{1S}	4 809	73.49	13.78	12.73
征 101	沙湾凹陷	J_{1S}	5 053	73.68	12.75	13.57
征 6	沙湾凹陷	_	Y	78.54	10.93	10.53
永 1	沙湾凹陷	J_3q	5 873	62.54	16.51	22.64
永 2	沙湾凹陷	_	_	76.12	17.35	6.53
永 6	沙湾凹陷	K ₁ tg	5 858	66.14	13.96	19.9
永 6	沙湾凹陷	K ₁ tg	5 913	67.04	13.04	19.93
永 9	沙湾凹陷	K ₁ tg	5 052	64.82	22.48	12.7
成 1	东道海子凹陷	$\mathrm{J}_1 b$	5 326	75.41	16.94	7.65
东道 2	东道海子凹陷	J_{1S}	5 402	72.17	13.24	14.59
永 3	莫南凸起	J_3q	5 610	74.32	18.69	6.99
永 3	莫南凸起	J_1s	5 801	67.25	20.85	11.9
董 1	阜康凹陷	J_2t	4 871	71.64	13.03	15.33
董 3	阜康凹陷	J_2t	5 324	82.54	11.31	6.15
莫 005	莫索湾凸起	J_1s	3 820	77.19	12.18	10.63
莫 101	莫索湾凸起	J_1s	4 204	79.58	6.31	14.11
芳 2	莫索湾凸起	J_2x	4 812	61.84	15.1	23.06
芳 2	莫索湾凸起	J_1s	4 944	60.85	16.51	22.64
盆参 2	莫索湾凸起	J_1b	5 122	80.57	10.52	8.91
盆 4	莫索湾凸起	_	3 243	73.83	10.29	15.88

3.2 生物标志化合物

准中原油从总离子流图(Total Ion Current, TIC)来看,其正构烷烃峰形分布以单峰型、 前峰型分布为主,部分原油含有较丰富的β-胡萝卜烷(图3)。姥鲛烷(Pr)和植烷(Ph)相 对关系可以用来确定相应沉积环境(图 4)(Powell and McKirdy, 1973; ten Haven et al., 1988), 准中地区原油 Pr/Ph 分布范围在 0.6~5.2 之间,大部分样品 Pr/Ph 分布范围在 1.0~2.0 之间, 表现为氧化—弱还原的沉积水体环境(表2)。在 Pr/nC₁₇与 Ph/nC₁₈关系图中表现为部分原 油的生烃母质来自过渡环境混合有机质来源,其他原油来自泥炭—煤等陆相有机质来源(图 4)。β-胡萝卜烷作为干旱、湖相的标志物,最早是由蒋助生在准噶尔盆地发现(蒋助生,1983), 主要来源于藻类产生的色素,性质比较稳定。在原油中检出β-胡萝卜烷,极有可能与风城组、 乌尔禾等二叠系源岩有关(Moldowan et al., 1985; 郭建军等, 2007; Brocks and Schaeffer, 2008; 甘应星等,2023)。从表2中反映β-胡萝卜烷含量的参数可知,大部分原油样品β-胡萝卜烷 含量较少,如阜康凹陷和东道海子凹陷原油甚至不含β-胡萝卜烷,但是仍存在部分井β-胡萝 卜烷含量较高(盆1井西凹陷庄103井、莫南凸起永3井以及莫索湾地区芳2井等)。其中, 永 3 井原油可能由于遭受生物降解,正构烷烃较β-胡萝卜烷抵抗能力弱,优先被消耗,使得 β-胡萝卜烷/nC_{max} 大于 1。但其原油的正构烷烃分布完整,也有可能是后期二次充注影响。 从β-胡萝卜烷与 Pr/Ph 关系图中可知(图 5), Pr/Ph 所反映的不同沉积环境与β-胡萝卜烷之 间的关系并不明显,不能很好区分准中地区原油。

表 2 准中地区原油地球化学参数表

Table 2 Geochemical parameters of oil samples from the Junggar Basin hinterland

井号	构造区	层位	深度/m	生物标志化合物										
开与	构坦区	运证	(水)支/m	R1	R2	R3	R4	R5	R6	R7	R8	R9	R10	R11
庄 1	盆1井西凹陷	J_1s	4 353	1.9	0.18	0.36	0.09	0.89	0.90	0.15	0.42	0.55	0.51	0.21
庄 3	盆1井西凹陷	J_1s	4 072	1.8	0.19	0.36	0.11	0.85	0.96	0.13	0.42	0.55	0.52	0.17
庄 102	盆1井西凹陷	J_1s	4 269	1.8	0.18	0.36	0.10	0.97	0.84	0.13	0.46	0.66	0.31	0.16
庄 103	盆1井西凹陷	J_1s	4 278.2-	1.4	0.30	0.44	0.59	0.73	0.84	0.25	0.34	0.54	0.54	0.35
庄 106	盆1井西凹陷	J_1s	4 307	1.9	0.18	0.37	0.14	0.83	0.90	0.15	0.41	0.55	0.53	0.23
庄 107	盆1井西凹陷	J_1s	4 273.9	1.6	0.28	0.45	0.03	0.81	0.93	0.21	0.32	0.53	0.56	1.01
征 1	沙湾凹陷	K_1tg	4 788	1.5	0.29	0.45	0.43	0.75	1.08	0.23	0.37	0.54	0.52	0.25
征 1	沙湾凹陷	J_1s	4 808.5	1.6	0.27	0.46	0.38	0.77	1.04	0.18	0.38	0.54	0.53	0.26
征 101	沙湾凹陷	J_1s	5 053.4	1.3	0.40	0.54	0.42	0.79	1.06	0.18	0.36	0.53	0.52	0.23
征 6	沙湾凹陷	_	_	1.5	0.28	0.47	0.15	0.72	1.02	0.29	0.39	0.52	0.51	0.24
永1	沙湾凹陷	J_3q	5 873	1.5	0.29	0.49	0.30	0.71	1.09	0.30	0.36	0.43	0.39	0.50
永 2	沙湾凹陷	_	_	2.2	0.15	0.35	0.02	1.86	0.85	0.09	0.60	0.55	0.52	0.16
永 6	沙湾凹陷	K_1tg	5 858.4	0.6	1.23	0.80	0.27	0.68	0.84	0.53	0.35	0.50	0.53	0.36
永6	沙湾凹陷	K_1tg	5 913.9	0.6	1.25	0.80	0.29	0.60	0.90	0.77	0.29	0.53	0.44	0.31
永 9	沙湾凹陷	K_1tg	5 051.5	1.1	0.47	0.51	0.19	0.70	0.97	0.61	0.40	0.54	0.51	0.14

成 1	东道海子凹陷	J_1b	5 326	5.2	0.18	1.09		6.29	0.60	0.04	0.88	0.56	0.51	0.07
东道 2	东道海子凹陷	J_{1S}	5 401.5	3.0	0.11	0.37		2.30	0.74	0.03	0.78	0.50	0.46	0.06
永3	莫南凸起	J_3q	5 609.6	1.7	0.21	0.41	0.18	0.73	1.12	0.33	0.41	0.54	0.53	0.36
永3	莫南凸起	J_{1S}	5 801	1.2	0.63	0.73	0.97	0.84	1.07	0.22	0.35	0.57	0.52	0.31
董 1	阜康凹陷	J_2t	4 871	3.6	0.10	0.42		7.35	0.35	0.02	0.87	0.49	0.46	0.06
董 3	阜康凹陷	J_2t	5 324.03	2.9	0.11	0.34		1.98	0.79	0.06	0.70	0.46	0.50	0.05
莫 005	莫索湾凸起	J_{1S}	3 820	1.2	0.48	0.57	0.42	0.81	0.96	0.13	0.32	0.54	0.52	0.26
莫 101	莫索湾凸起	J_1s	4 204	1.2	0.43	0.56	0.05	0.83	0.89	0.16	0.32	0.61	0.40	0.98
芳 2	莫索湾凸起	J_2x	4 812	1.2	0.49	0.64	1.40	0.85	1.00	0.16	0.30	0.57	0.48	0.30
芳 2	莫索湾凸起	J_{1S}	4 944	1.7	0.62	0.74	1.72	0.78	1.06	0.20	0.31	0.56	0.55	0.36
盆参 2	莫索湾凸起	J_1b	5 122	1.2	0.42	0.50	0.31	0.87	1.01	0.13	0.29	0.57	0.55	0.38
盆 4	莫索湾凸起	_	3 243	1.3	0.41	0.56	0.22	0.93	0.97	0.06	0.30	0.53	0.51	0.25

注: R1=Pr/Ph; R2=Ph/nC₁₈; R3=Pr/nC₁₇; R4= β -胡萝卜烷/nC_{max}; R5=C₂₀TT/C₂₁TT; R6=C₂₁TT/C₂₃TT; R7=Ga/C₃₀H; R8=C₂₄TeT/(C₂₄TeT+C₂₆TT); R9=C₂₉ β β/(β β+ α α); R10=C₂₉20S/(20S+20R); R11=三环萜烷主峰碳/C₃₀H; "—"无数据。

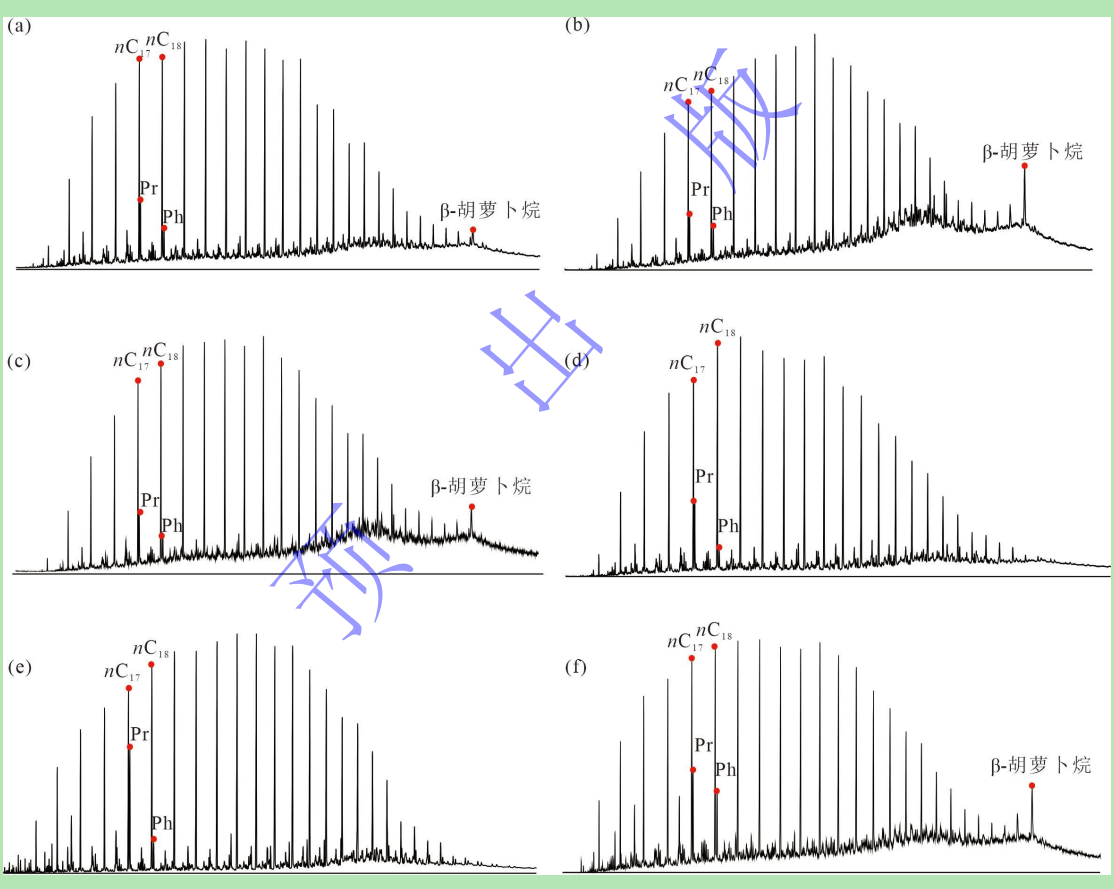


图 3 准中地区部分原油饱和烃总离子流图 (TIC)

(a) 盆 1 井西凹陷,庄 1 井,4 353.00 m, J_1s ; (b) 沙湾凹陷,征 1 井,4 808.50 m, J_1s ; (c) 漠南凸起,永 3 井,5 609.60 m, J_3q ; (d) 阜康凹陷,董 1 井,4 871.00 m, J_2t ; (e) 东道海子凹陷,成 1 井,5 326.00 m, J_1b ; (f) 莫索湾凸起,盆参 2 井,5 122.00 m, J_1b 。

Fig.3 Total ion current (TIC) of representative samples from the Junggar Basin hinterland (a)well Pen-1 west sag, well Zhuang 1, 4 353.00 m, J₁s; (b)Shawan sag, well Zheng 1, 4 808.50 m, J₁s; (c)Monan uplift, well Yong 3, 5 609.60 m, J₃q; (d)Fukang sag, well Dong 1, 4 871.00 m, J₂t; (e)Dongdaohaizi sag, well Cheng 1, 5 326.00 m, J₁b; (f)Mosuowan uplift; well Pencan 2, 5 122.00 m, J₁b.

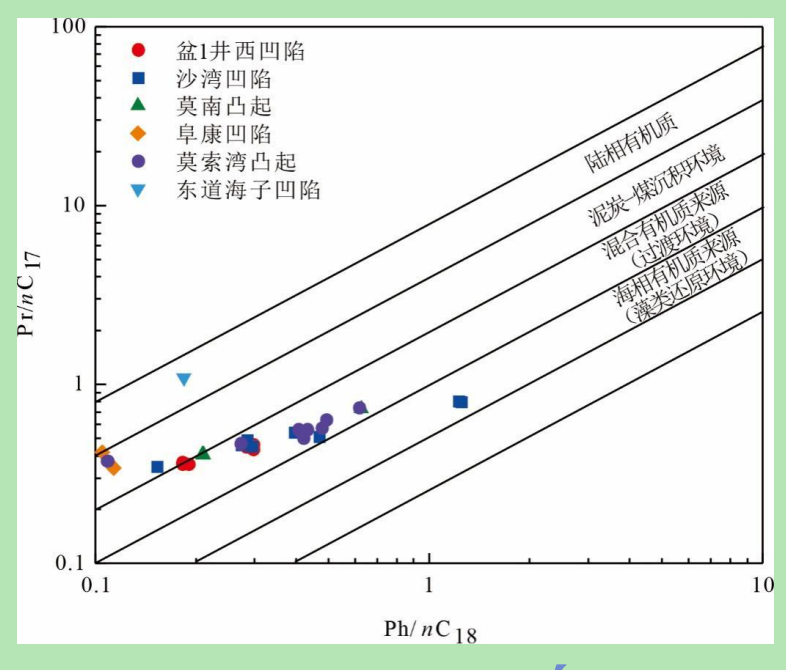


图 4 Pr/nC₁₇与 Ph/nC₁₈关系图



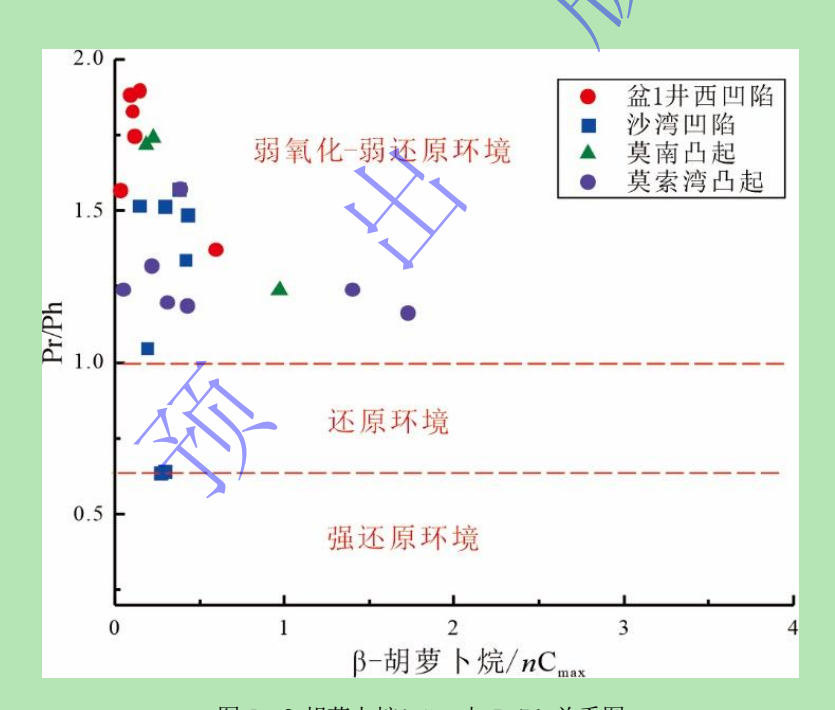


图 5 β-胡萝卜烷/ nC_{max} 与 Pr/Ph 关系图

Fig.5 Plot of Pr/Ph vs. β-carotene/nC_{max}

三环萜烷主要来源于藻类或者微生物,也可以作为反映母质来源和沉积环境的常用指标 (Bohacs et al., 2000; Peters et al., 2008; Tao et al., 2015; 陈哲龙等,2017; 肖洪等,2019)。 准中地区原油根据三环萜烷含量有三种不同的分布模式(图 6,7),第 1 种 $C_{20}TT$ 、 $C_{21}TT$ 、 $C_{23}TT$ 分布形态呈现出上升型分布(图 6a),三环萜烷含量高,三环萜烷主峰碳与 $C_{30}H$ 比值 在 $0.98\sim1.01$ 之间(表 2)。第 2 种 $C_{20}TT$ 、 $C_{21}TT$ 、 $C_{23}TT$ 分布形态呈现出上升型或山峰型分

布(图 6b~d),三环萜烷含量较高,三环萜烷主峰碳与 $C_{30}H$ 比值在 0.13~0.50 之间(表 2)。第 3 种 $C_{20}TT$ 、 $C_{21}TT$ 、 $C_{23}TT$ 分布形态为山谷型分布,三环萜烷主峰碳与 $C_{30}H$ 比值均小于 0.1 (图 6e,f)。虽然根据三环萜烷分布模式可以推断出原油有三种不同类型,但是同样的分布模式并不代表来自同一种类型原油,如盆参 2 井和永 3 井原油三环萜烷分布模式一致(图 6b,c),三环萜烷主峰碳与 $C_{30}H$ 比值分别为 0.38 和 0.36,但是反映沉积环境参数 $Ga/C_{30}H$ 比值相差较大,盆参 2 井 $Ga/C_{30}H$ 为 0.13,永 3 井 $Ga/C_{30}H$ 为 0.33,因此两者是否来自同一类型原油需要进一步验证。

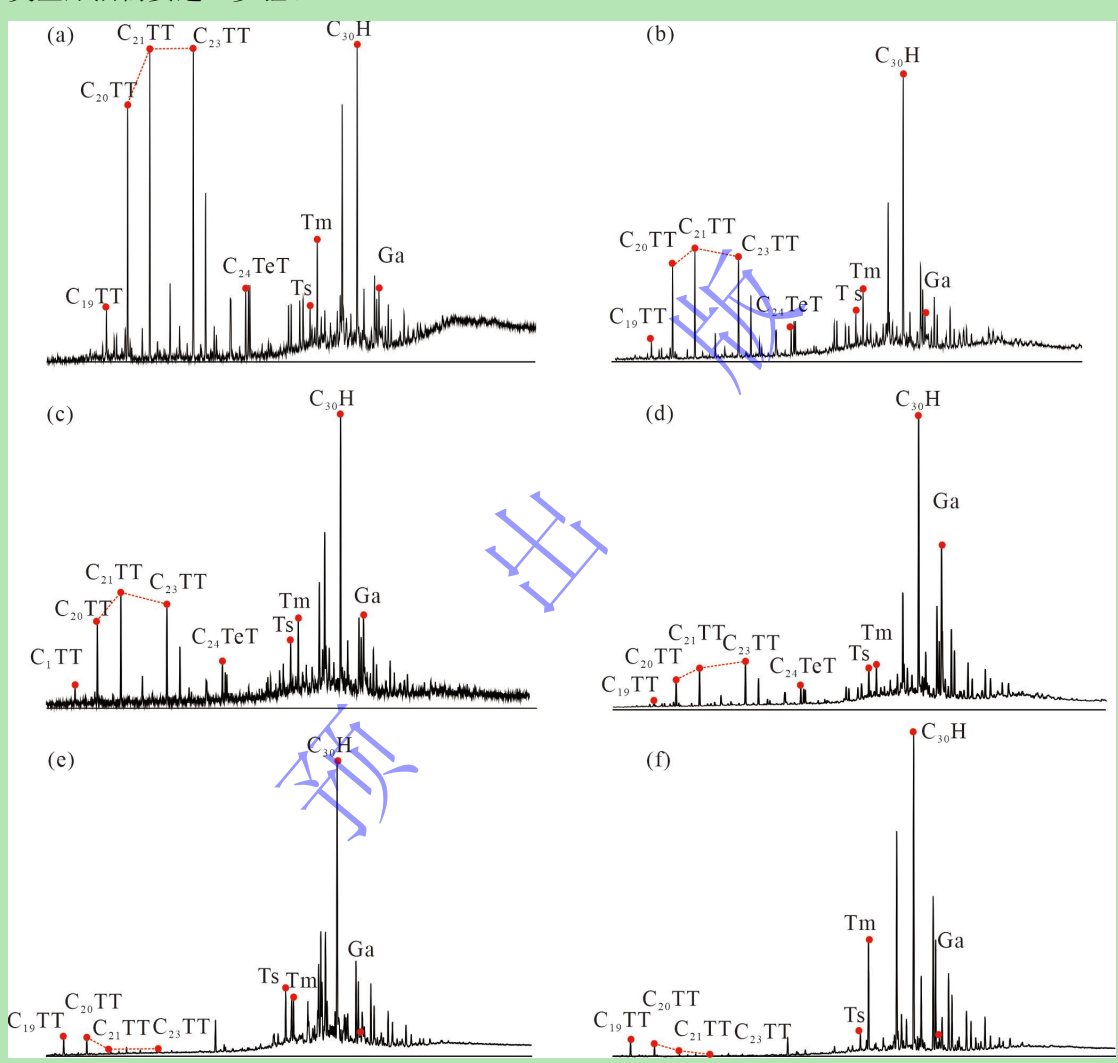


图 6 准中地区部分原油 m/z 191 质量色谱图

(a) 盆 1 井西凹陷,庄 107 井,4 273.90 m, J_1s ; (b) 莫索湾凸起,盆参 2 井,5 122.00 m, J_1b ; (c) 漠南凸起,永 3 井,5 609.60 m, J_3q ; (d) 沙湾凹陷,永 6 井,5 858.40 m, K_1tg ; (e) 东道海子凹陷,成 1 井,5 326.00 m, J_1b ; (f) 阜康凹陷,董 1 井,4 871.00 m, J_2t 。

Fig. 6 Mass spectrum (m/z 191) of a representative sample from the Junggar Basin hinterland (a)Well Pen-1 west sag, Well Zhuang 107, 4 273.90 m, J_1s ; (b)Mosuowan uplift; Well Pencan 2, 5 122.00 m, J_1b ; (c)Monan uplift, Well Yong 3, 5 609.60 m, J_3q ; (d) Shawan sag, Well Yong 6, 5 858.40 m, K_1tg ; (e) Dongdaohaizi sag, Well Cheng 1, 5 326.00 m, J_1b ; (f) Fukang sag, Well Dong 1, 4 871.00 m, J_2t .

C₂₄TeT 可以指示细菌和陆源输入(Woodhouse et al., 1992; Samuel et al., 2010; 包建平

等,2018),在准中地区大部分原油样品 Pr/Ph>1.0(表 2),这种偏氧化的沉积环境有利于陆源三萜类化合物在微生物作用下形成 C_{24} TeT,而由细菌所形成的 C_{24} TeT 则需要在还原环境中才可以大量生成。与三环萜烷分布模式做对比,发现三环萜烷分布模式呈上升型和山峰型的原油 C_{24} TeT/(C_{24} TeT+ C_{26} TT)比值相近,在 $0.29\sim0.60$ 之间(图 8),而三环萜烷呈下降型分布模式的原油 C_{24} TeT/(C_{24} TeT+ C_{26} TT)比值高于前两类(图 8),在 $0.69\sim0.88$ 之间,说明该类原油存在高等植物贡献。并且该类原油 Ga/C_{30} H 比值也小于 0.1,而其他两种类型原油 Ga/C_{30} H 比值则在 $0.13\sim0.77$ 之间,说明这种原油原始沉积环境与前两种原油完全不同。通过 Ga/C_{30} H 与 C_{24} TeT/(C_{24} TeT+ C_{26} TT)关系图表明这两个参数为负相关关系,前者高,表明水体盐度高,高等植物输入就少。另外,原油中当 C_{24} TeT/(C_{24} TeT+ C_{26} TT)比值相似时, Ga/C_{30} H 值不同,说明原油中存在不同成因来源原油(图 8)。

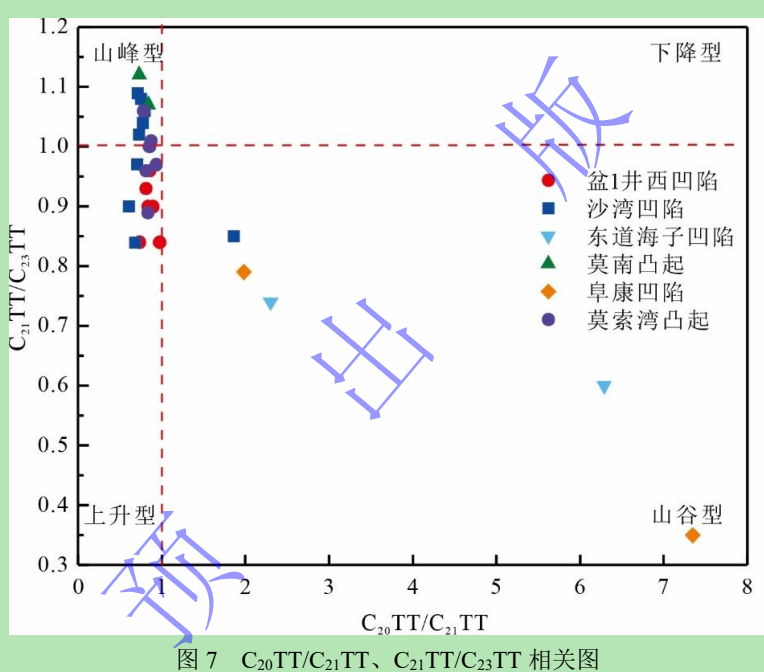


Fig.7 Plot of C₂₀TT/C₂₁TT vs. C₂₁TT/C₂₃TT

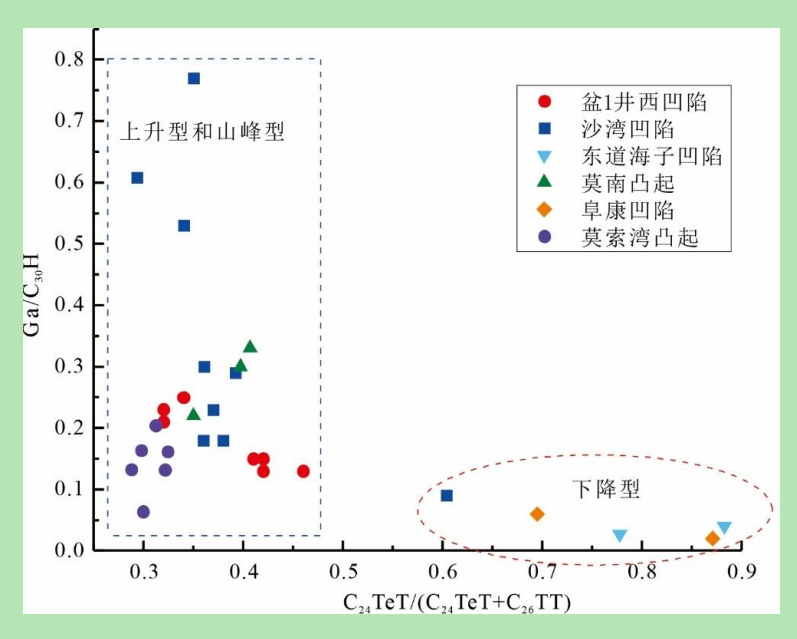


图 8 C₂₄TeT/ (C₂₄TeT+C₂₆TT) 和 Ga/C₃₀H 相关图 Fig.8 Plot of C₂₄TeT/(C₂₄TeT+C₂₆TT) vs. Ga/C₃₀H

不同的甾烷类生物标志物可以指示不同的生物来源和沉积环境(Peters et al., 2004; Zhang et al., 2021)。前人研究认为 C_{27} 、 C_{28} 、 C_{29} 规则甾烷可以反映不同生源母质来源, C_{27} 甾烷来源于藻类低等水生生物; C29 甾烷来源于陆源高等植物输入; C28 甾烷则作为混合来源 有机质。准中地区原油甾烷组成中大部分样品 C29 规则甾烷占优势,C27 规则甾烷含量低, C_{27} 、 C_{28} 、 C_{29} 构型规则甾烷呈上升型分布(图 9)。还有一部分原油 C_{27} 、 C_{28} 、 C_{29} 构型规则 甾烷呈 "V"字型分布。大部分样品重排甾烷含量低,但是莫索湾凸起东部东道2井原油重 排甾烷含量高,与腹部其他井原油不同。准中地区原油中短链的 C21 孕甾烷和 C22 升孕甾烷 相对含量较高,早期的研究认为,其丰度高低与成熟度和黏土矿物存在有关(Requejo et al., 1997), 当成熟度不是太高时, 来自侧链断裂的可能性较小, 但是有学者通过实验证明孕甾 烷/规则甾烷值不随热模拟温度的升高而增加反而略有降低(Hughes and Holba, 1988),因 此认为与高盐度的沉积环境相关(秦黎明等,2008; 王作栋等,2009; Wang et al., 2015)。 准中地区原油(孕甾烷+升孕甾烷)/C29规则甾烷值分布范围介于0.13~1.25(表2),但也有 比值小于 0.2 的原油, 其甾烷成熟度参数 C_{29} 甾烷 20S/(20S+20R) 和 $\beta\beta/(\beta\beta+\alpha\alpha)$ 值分别 介于 0.37~0.51 与 0.46~0.66 (图 10), 说明原油已达到异构化平衡阶段,均属于成熟油,因 此并不是成熟度导致(孕甾烷+升孕甾烷)/C29规则甾烷值出现差异;而(孕甾烷+升孕甾烷) /C29 规则甾烷值比值小于 0.2 的原油其 Ga/C30H 比值小于 0.1,表明含盐度影响了孕甾烷和升 孕甾烷含量。

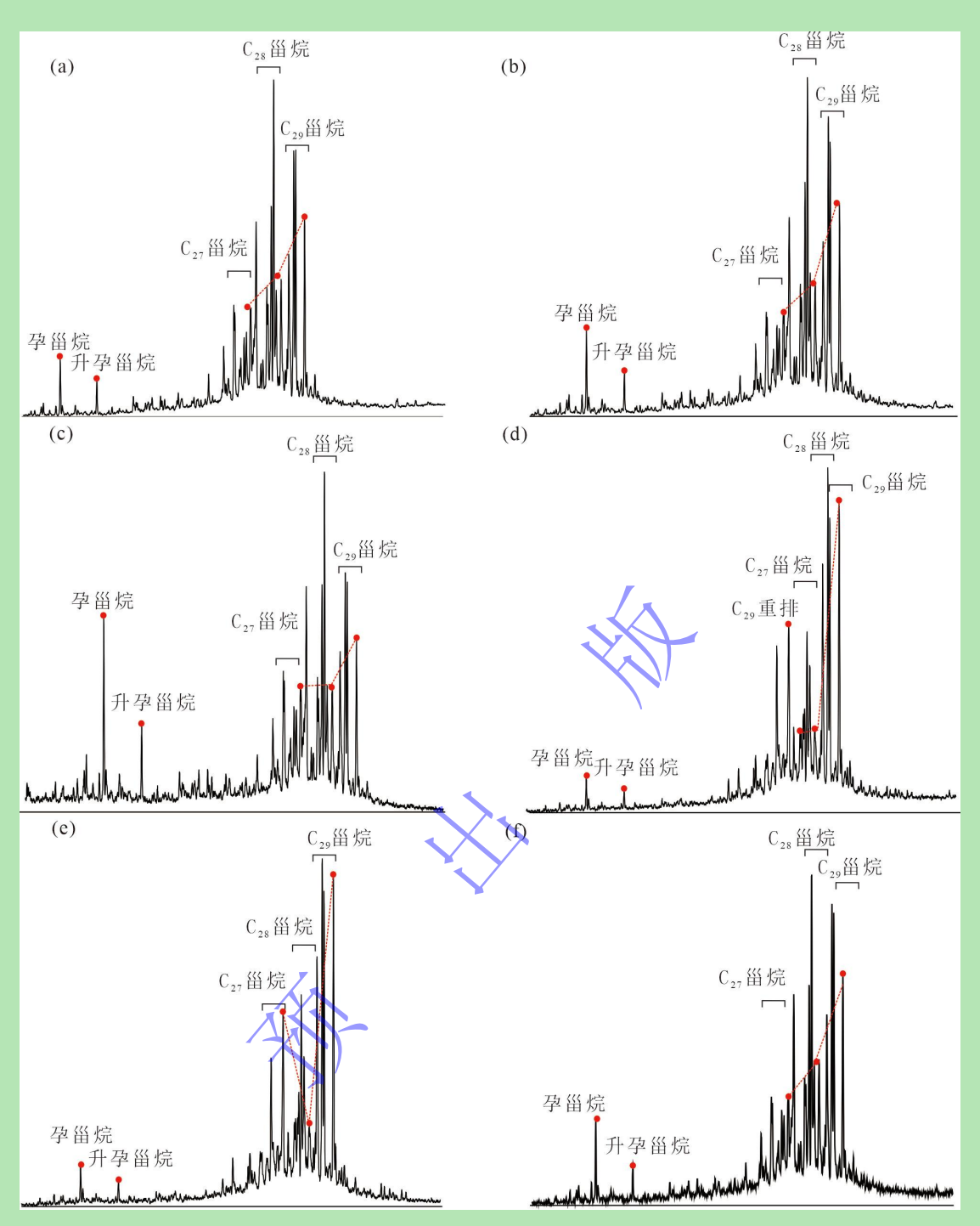


图 9 准中地区部分原油 m/z 217 质量色谱图

(a) 盆 1 井西凹陷,庄 103 井,4 278.20 m, J_1s ; (b) 沙湾凹陷,永 1 井,5 873.00 m, J_3q ; (c) 莫索湾凸起,莫 101 井,4 204.00 m, J_1s ; (d) 东道海子凹陷,东道 2 井,5 401.50 m, J_1s ; (e) 阜康凹陷,董 1 井,4 871.00 m, J_2t ; (f) 漠南凸起,永 3 井,5 609.60 m, J_3q 。

Fig.9 Mass spectrum (m/z 217) of a representative sample from the Junggar Basin hinterland (a)well Pen-1 west sag, well Zhuang 103, 4 278.20 m, J₁s; (b)Shawan sag, well Yong 1, 5 873.00 m, J₃q; (c)Mosuowan uplift; well Mo 101, 4 204.00 m, J₁s; (d)Dongdaohaizi sag, well Dongdao 2, 5 401.50 m, J₁s; (e)Fukang sag, well Dong 1, 4 871.00 m, J₂t; (f)Monan uplift, well Yong 3, 5 609.60 m, J₃q.

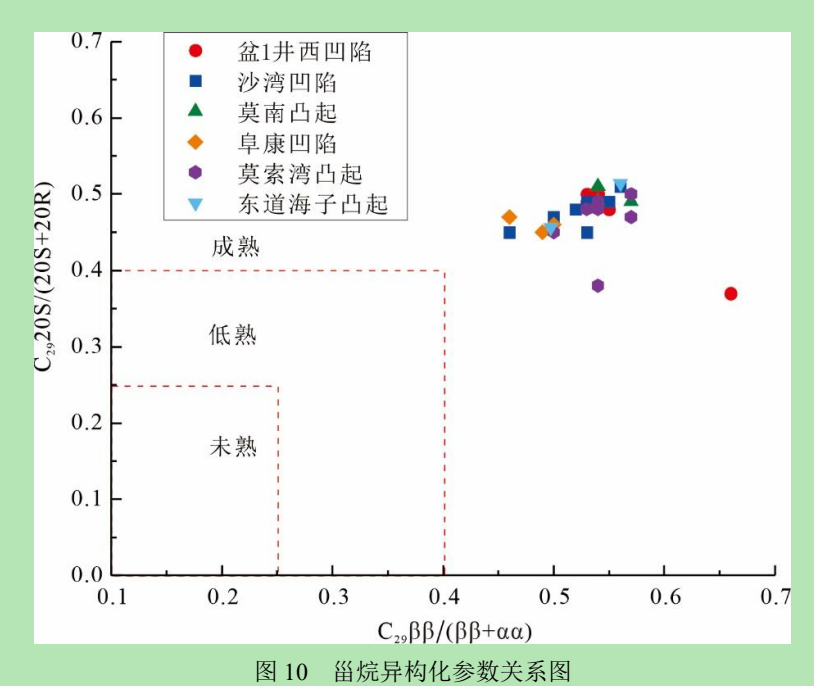


Fig.10 Plot of $C_{29}\beta\beta/(\beta\beta+\alpha\alpha)$ vs. $C_{29}20S/(20S+20R)$ to determine thermal maturity

3.3 原油正构烷烃碳同位素特征

准中地区原油正构烷烃碳同位素组成($\delta^{13}C_{alk}$)为-33.9‰~-25.9‰,原油正构烷烃碳同位素随碳数增加逐渐偏轻。通过对准中不同地区原油 $\delta^{13}C_{alk}$ 分布范围分析发现存在四种不同分布特征。第一种以沙湾凹陷永 6 井原油为主(图 11a),原油正构烷烃碳同位素最轻, $\delta^{13}C_{alk}$ 为-30.7‰~-33.8‰;第二种以莫索湾凸起、盆 1 井西凹陷以及部分沙湾凹陷原油为主(图 11a、11b、11c), $\delta^{13}C_{alk}$ 为-27.0‰~-32.5‰;第三种以沙湾凹陷征 1 井、征 6 井和永 2 井以及漠南凸起永 3 井原油为主(图 11a), $\delta^{13}C_{alk}$ 为-27.4‰~-30.4‰;第四种以东道海子凹陷和阜康凹陷原油为主(图 11b),这些井原油 C_{24} TeT/(C_{24} TeT+ C_{26} TT)>0.7,同时 G_{a}/C_{30} H<0.04,说明形成原油的干酪根来自陆源的高等植物,因此原油正构烷烃碳同位素组成最重, $\delta^{13}C_{alk}$ 为-25.9‰~-30.4‰。

虽然准中地区原油通过正构烷烃碳同位素分成了四种类型,但有些井原油正构烷烃碳同位素组成特征解释上存在争议。例如永 3 井 J_1s 原油 $\delta^{13}C_{alk}$ 为-31.0%~-29.4%,重于永 6 井原油,同时 $Ga/C_{30}H$ 为 0.22,小于永 6 井的 $Ga/C_{30}H$,但是永 3 井 δ^2H_{alk} 却重于永 6 井,因此永 3 井 J_1s 原油还需要进一步分析,仅通过原油正构烷烃碳同位素与生标无法正确地反映有机质形成时的沉积环境。除此之外,盆 1 井西凹陷原油(图 11c)虽然正构烷烃碳同位素分布范围一致,但是从 C_{20} 开始庄 1、庄 3、庄 102 井 $\delta^{13}C_{alk}$ 与庄 103 井、庄 107 的 $\delta^{13}C_{alk}$ 出现差别。以往的正构烷烃碳同位素分析中只有这种差别足够明显才会划分成不同来源原油(Jia et al., 2017;Yu et al., 2017),但是这几口井原油反映环境的生标参数有所差别,如

庄 107 井和庄 103 井原油 $Ga/C_{30}H$ 、β-胡萝卜烷/ nC_{max} 大于庄 1、庄 3、庄 102 井,Pr/Ph 小于这三口井。因此,为了解决碳同位素组成在反映沉积环境上的不足,需要一个更为灵敏的环境指标。

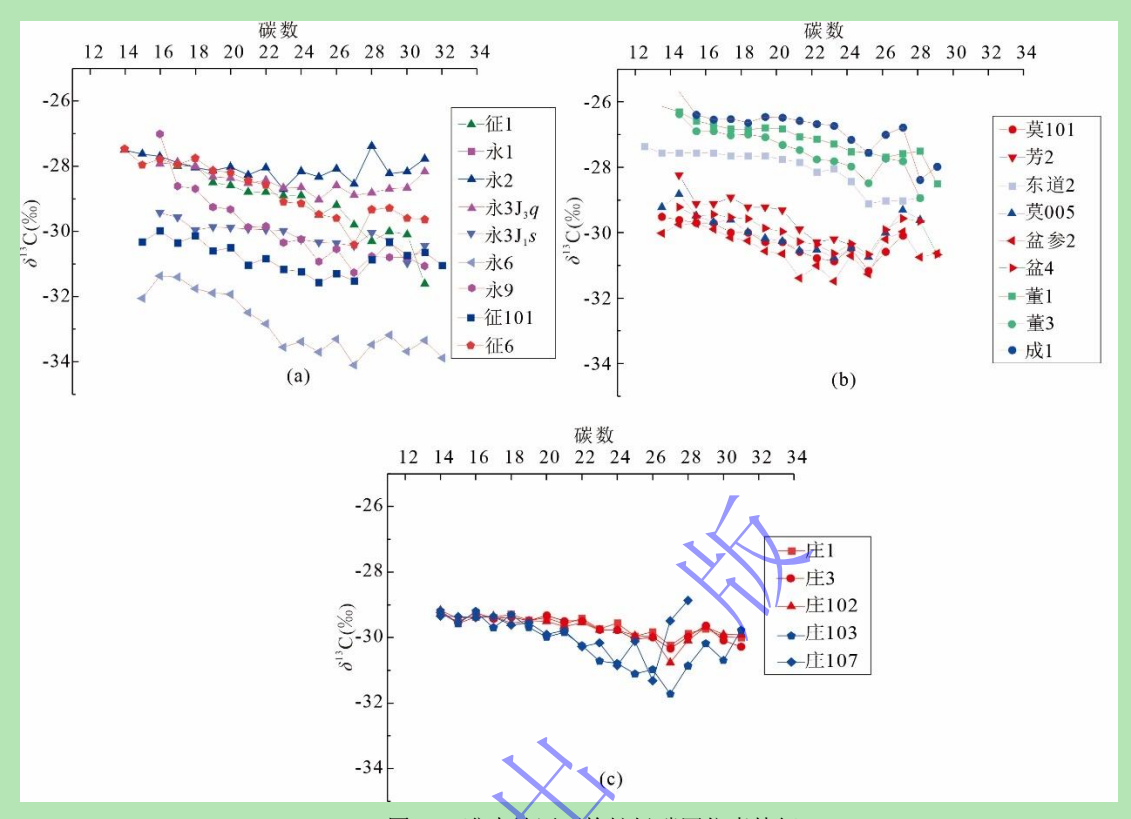


图 11 准中地区正构烷烃碳同位素特征

(a) 沙湾凹陷和漠南凸起; (b) 莫索湾凸起、阜康凹陷和东道海子凹陷; (c) 盆 1 井西凹陷

Fig. 11 δ^{13} C of *n*-alkanes plotted against chain length from the Junggar Basin hinterland (a) Shawan Sag and Monan Uplift; (b) Mosuowan Uplift, Fukang Sag and Dongdaohaizi Sag; (c) well Pen-1 west sag

3.4 原油正构烷烃氢同位素特征

准中地区原油 δ^2 H_{alk}变化范围大,在-187‰~-111‰之间。根据对所有样品原油 δ^2 H_{alk}范围划分为四种正构烷烃氢同位素曲线类型(表 3):① δ^2 H_{alk}轻, δ^2 H_{alk}为-187‰~-139‰;② δ^2 H_{alk}偏轻, δ^2 H_{alk}为-177‰~-124‰;③ δ^2 H_{alk}偏重, δ^2 H_{alk}为-163‰~-116‰;④ δ^2 H_{alk}重, δ^2 H_{alk}为-159‰~-111‰。

表 3 准中地区 δ^2 H_{alk}类型

Table 3 Classification of $\delta^2 H_{alk}$ from the Junggar Basin hinterland

∂²H _{alk} 类型	$\delta^2 \mathrm{H_{alk}}$ (‰)
· · · · · · · · · · · · · · · · · · ·	-187~-139
偏轻	-177~-124
偏重	-163~-116
重	-159~-111

盆 1 井西凹陷原油 δ^2 H_{alk}整体较轻,在-184‰~-124‰之间,随碳数增加,氢同位素逐渐偏重,除庄 107 井、庄 103 井外,其余井原油正构烷烃氢同位素特征较一致,氢同位素曲线形态平缓(图 12a)。庄 107 井和庄 103 井低数碳部分(C_{15} - C_{23}) δ^2 H_{alk}较重于盆 1 井西凹陷其他原油,从 C_{23} 开始 δ^2 H_{alk}偏重,曲线斜率变大。

沙湾凹陷永 2 井、征 101 井和征 1 井原油 δ^2 Halk 偏轻,在-177‰~-137‰之间(图 12b)。 沙湾凹陷其他井原油 δ^2 Halk 偏重,在-159‰~-111‰之间。其中永 2 井原油虽然正构烷烃氢同位素特征与其他两口井一致,但是 Ga/C_{30} H 为 0.09, β -胡萝卜烷/ nC_{max} 为 0.02,远小于同地区其他原油,说明氢同位素组成特征一致的原油还是有可能来自不同类型原油。沙湾凹陷其他井原油除 δ^2 Halk 偏重之外,原油 δ^1 3Calk 同样也重于该地区其他原油,这种碳、氢同位素同时都偏重的现象可能与该地区独特的生物类型和沉积环境有关。值得一提的是,永 6 井原油与永 2 井类似,也是和该地区其他井原油 δ^2 Halk 一致而生标不同。

莫南凸起永 3 井不同储层的原油正构烷烃氢同位素特征不同。永 3 井 J_3q 原油 δ^2H_{alk} 较轻,在-177‰~-124‰之间,与庄 107 井氢同位素组成特征相似;永 3 井 J_1s 原油 δ^2H_{alk} 最重,在-157‰~-121‰之间(图 12b)。莫索湾地区原油 δ^2H_{alk} 除了芳 2 井原油外, δ^2H_{alk} 偏重,在-160‰~-116‰之间;芳 2 井原油 δ^2H_{alk} 轻,在-182‰~-160‰之间(图 12c)。来自东道海子凹陷的成 1 井原油与来自阜康凹陷的董 1 和董 3 井原油则与永 2 井无论是 δ^2H_{alk} 还是生物标志化合物参数均呈现高度一致性,唯一的差别就是永 2 井的三环萜烷含量大于这三口井(图 12c)。

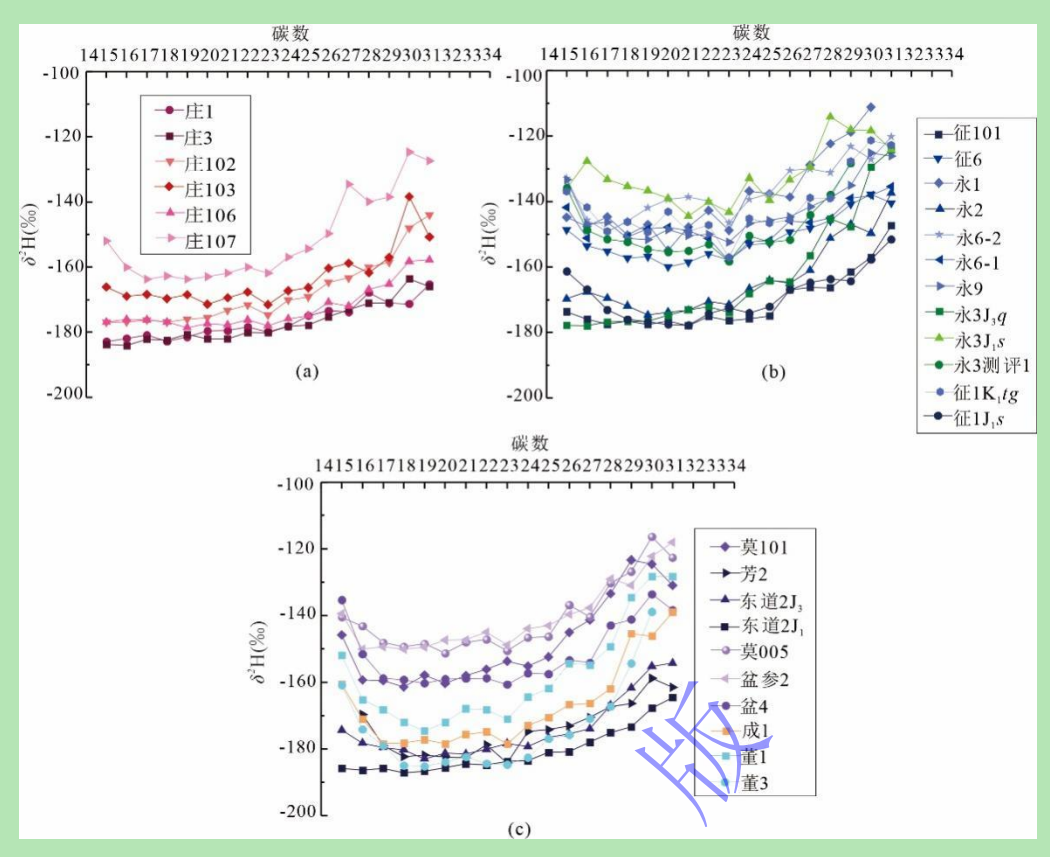


图 12 准中不同地区正构烷烃氢同位素特征

(a)盆1井西凹陷;(b)沙湾凹陷和漠南凸起;(c)莫索湾凸起、阜康凹陷和东道海子凹陷

Fig. 12 δ^2 H of *n*-alkanes plotted against chain length from the Junggar Basin hinterland (a) well Pen-1 west sag; (b) Shawan Sag and Monan Uplift; (c) Mosuowan Uplift, Fukang Sag and Dongdaohaizi Sag

4 混源原油来源及原油类型划分

4.1 混源原油来源

准中地区主要存在三种类型烃源岩的贡献,分别是下侏罗统八道湾(J₁b)烃源岩、下二叠统风城组(P₁f)烃源岩和中二叠统乌尔禾组 P₂w 烃源岩(陈建平等,2016a;师肖飞,2022;吴小奇等,2023)。J₁b 烃源岩贡献的原油主要来自东道海子凹陷成 1 井、东道 2 井原油与阜康凹陷董 1 和董 3 井原油(图 13),这些地区原油与准中地区其他原油存在明显区别,三环萜烷含量低,Ga/C₃₀H 比值小于 0.1,规则甾烷成 "V"字型分布,原油正构烷烃碳同位素最重,并且原油正构烷烃氢同位素与其他类型原油相比整体较轻(图 12)。而永 2 井原油混合了部分 P₁f 烃源岩形成的原油(以下简称 P₁f 原油),大部分 P₁f 原油三环萜烷主峰碳为 C₂₁TT,Pr/Ph<2.0,δ²H_{alk} 重(表 4),因此混合了 P₁f 原油的永 2 井原油三环萜烷主峰为 C₂₁TT,δ²H_{alk} 略重于其他 J₁b 原油(图 14)。

P₁f 烃源岩作为盆地主力烃源岩层,集中分布于玛湖—东道海子凹陷的沉积中心(Yu et al., 2017; Zhang et al., 2022),分布面积大,沙湾凹陷和莫索湾凸起原油大部分均来自 P₁f

烃源岩贡献(图 13)。但是由于 P_{lf} 烃源岩在湖盆时期沉积厚度不一,导致在沉积期形成烃源岩的过程中不同地区烃源岩厚度差距较大,使得深水湖相沉积的 P_{lf} 烃源岩与浅水湖相沉积的 P_{lf} 烃源岩地化特征不同。沙湾凹陷永 6 井原油就是典型的深湖相 P_{lf} 原油(图 13、图 12), δ^{13} C_{alk} 轻, δ^{2} H_{alk} 偏重, δ^{2} H_{alk} 偏重, δ^{2} H_{alk} 相重, δ^{2} H_{alk} 都重于深水湖相 δ^{2} H_{alk} 都重于深水湖相 δ^{2} H_{alk} 都重于深水湖相 δ^{2} H_{alk} 和 δ^{2} H_{alk} 都重于深水湖相 δ^{2} H_{alk} 和 δ^{2} H_{alk} 偏轻(表 4)。永 9 井原油则是深湖相和浅湖相 δ^{2} H_{alk} 和 δ^{2} H_{alk} 有 δ^{2

 P_{2w} 烃源岩呈现"西厚东薄"的楔状体特征,盆 1 井西凹陷沉积中心厚度达 450 m。盆 1 井西凹陷除庄 107 井、庄 103 井之外,其余井原油 δ^2 Halk 偏轻(图 12),甚至与陆相来源为 主的 J_1b 原油相当,三环萜烷较高,β-胡萝卜烷含量较少, Ga/C_{30} H 比值小于 0.15,是典型 P_{2w} 原油。盆 1 井凹陷庄 107 井和庄 103 井原油由于混入浅湖相 P_1 f 原油(图 13), δ^2 Halk 明显重于盆 1 井西凹陷其他 P_{2w} 原油,并且发现大部分混源油都会相较于未混源原油,曲线斜率增大(图 12)。莫索湾凸起的莫 101 井和盆 4 井原油就为浅湖相 P_1 f 原油混入部分 P_{2w} 原油(图 13),因为与浅湖相 P_1 f 原油相比, δ^{13} Calk 和生物标志化合物参数无明显变化,只有 δ^2 Halk 整体偏轻。

表 4 混源原油特征
Table 4 Geochemical characteristics of mixed-source crude oil

混源原油类型	$\delta^2 H_{alk}/\%$ o	δ ¹³ C _{alk} /%0	类异戊二烯	甾烷分布形式与特征指标	萜烷分布形式与特征指标
			Pr/Ph: 2.2;	C ₂₉ 规则甾烷为主,"V"字型分	三环萜烷主峰/C ₃₀ H: 0.16; C ₁₉ 三环
J ₁ b 原油混 P ₁ f	δ ² H _{alk} 偏轻,	$\delta^{13}\mathrm{C}_{\mathrm{alk}}$ 重,	β-胡萝卜烷	布;(孕甾烷+升孕甾烷)/C ₂₉	萜烷优势; Ga/C ₃₀ H: 0.09;
原油	-170~137。	-27.3~-28.7。	/nC _{max} : 0.02°	规则甾烷: 0.42。	C ₂₄ TeT/C ₂₆ TT 大: 0.60。
P _t f原油(浅			Pr/Ph: 1.1;	C ₂₉ 规则甾烷为主,上升型分	三环萜烷主峰/C ₃₀ H: 0.49; C ₂₃ 三环
湖)混 Pıf原	δ ² H _{alk} 偏重, -152~-120	δ ¹³ C _{alk} 偏重, -31.3~-27.0。	β-胡萝卜烷	布;(孕甾烷+升孕甾烷)/C ₂₉	萜烷优势; Ga/C30H: 0.61;
油 (深湖)	-132~-120	-31.3~-27.0°	/nC _{max} : 0.19。	规则甾烷: 0.38。	C ₂₄ TeT/C ₂₆ TT 大: 0.29。
P _I f原油(浅	$\delta^2 \mathrm{H}_{\mathrm{alk}}$ 偏重,	δ ¹³ C _{alk} 偏轻,	Pr/Ph: 1.2~1.3;	C ₂₉ 规则甾烷为主,上升型分	三环萜烷主峰/C ₃₀ H: 0.25~0.98, C ₂₃
湖)混 P _{2w} 原	-160~-116	-31.3~-29.6。	β-胡萝卜烷	布;(孕甾烷+升孕甾烷)/C ₂₉	三环萜烷优势; Ga/C ₃₀ H: 0.06~0.16;

油			/nC _{max} :	规则甾烷: 0.64~0.90。	C ₂₄ TeT/C ₂₆ TT 大: 0.30~0.32。
			0.05~0.22。		
			Pr/Ph: 1.6~1.7;		
P _t f原油(浅	δ²H _{alk} 偏轻,	δ ¹³ C _{alk} 偏重,	β-胡萝卜烷	C ₂₉ 规则甾烷为主,上升型分	三环萜烷主峰/C ₃₀ H: 0.26~0.36, C ₂₁
湖) 混 J ₁ b 原			/ 0	布;(孕甾烷+升孕甾烷)/C ₂₉	三环萜烷优势; Ga/C30H: 0.18~0.33;
油	-177~-129	-30.5~-27.9。	/nC _{max} :	规则甾烷: 0.44~0.61。	C ₂₄ TeT/C ₂₆ TT 大: 0.38~0.41。
1944			0.18~0.38。	7,56A, El 7,61 0.01 0.010	0,50 0,11
			Pr/Ph: 1.4~1.6;		
P ₂ w 原油混			o tutti l kè	C ₂₉ 规则甾烷为主,上升型分	三环萜烷主峰/C ₃₀ H: 0.35~1.01, C ₂₃
P ₁ f 原油(浅	δ ² H _{alk} 偏轻,	δ ¹³ C _{alk} 偏轻,	β-胡萝卜烷	布: (孕甾烷+升孕甾烷)/C ₂₉	三环萜烷优势; Ga/C30H: 0.21~0.25;
1 y // / / / / / / / / / / / / / / / / /	-171~-124	-31.7~-28.9。	/nC _{max} :	1p, () H/(c / /) H/(c / / C 29	
湖)			0.03~0.59。	规则甾烷: 0.47~1.13。	C ₂₄ TeT/C ₂₆ TT 大: 0.32~0.34。



图 13 准中地区混源原油来源分布图

Fig.13 Source distribution map of mixed-source crude oil in Junggar Basin hinterland

4.2 原油类型划分

根据对所有样品原油 $\delta^2 H_{alk}$ 、 $\delta^{13} C_{alk}$ 和生物标志化合物特征分析,将准噶尔盆地中部地区原油精细划分为三种类型原油(I类、II类和III类),其中第II类原油进一步划分成两个亚类 II_A 和 II_B (表 5)。

I类原油来自 J₁b 烃源岩形成的原油,正构烷烃氢同位素轻, δ^2 H_{alk}介于-187‰~-139‰; δ^{13} C_{alk}重, δ^{13} C_{alk}介于-30.4‰~-25.9‰(图 14);三环萜烷含量较少,以 C₁₉TT 优势,三环萜烷主峰/C₃₀H<0.07;反映高等植物来源的 C₂₄TeT/(C₂₄TeT+C₂₆TT)大于 0.70;无β-胡萝卜烷,Pr/Ph 介于 2.9~5.2,Ga/C₃₀H 比值低;I类原油孕甾烷含量少,(孕甾烷+升孕甾烷)/C₂₉规则

甾烷介于 $0.13\sim0.32$; C_{27} 、 C_{28} 、 $C_{29}20R$ 构型规则甾烷呈"V"字形分布(表 5)。 I 类原油中部分混有 P_1f 原油, δ^2H_{alk} 偏轻, δ^2H_{alk} 介于-170‰~137‰(表 4)。

II类原油主要来自 P_1f 烃源岩形成的原油, δ^2H_{alk} 重, δ^2H_{alk} 介于-163%~~111‰,以 C_{21} TT 或 C_{23} TT 优势为主, C_{20} TT、 C_{21} TT、 C_{23} TT 分布形态呈现出山峰型或上升型分布, C_{27} 、 C_{28} 、 C_{29} 20R 构型规则甾烷呈上升型分布。但是根据正构烷烃碳、氢同位素特征和 Ga/C_{30} H 比值进一步分为两个亚类, II_A 类原油和 II_B 类原油。 II_A 类原油 δ^2H_{alk} 重, δ^2H_{alk} 介于-159%~~111‰; $\delta^{13}C_{alk}$ 偏重, $\delta^{13}C_{alk}$ 介于-30.5%~~27.3%(图 14);三环萜烷含量较高,三环萜烷主峰/ C_{30} H 介于 0.24~0.50。 P_1 Ph 介于 1.2~1.5; Ga/C_{30} H 比值较低,介于 0.13~0.30, β -胡萝卜烷/ nC_{max} 介于 0.05~0.97;孕甾烷、升孕甾烷含量较高,(孕甾烷+升孕甾烷)/ C_{29} 规则甾烷介于 0.34~0.69(表 5)。 II_B 类原油 δ^2H_{alk} 偏重, δ^2H_{alk} 介于-163%~~134‰; $\delta^{13}C_{alk}$ 轻, $\delta^{13}C_{alk}$ 介于-34.0%~~30.8%(图 14); P_1 Ph 为 0.6, β -胡萝卜烷/ nC_{max} 介于 0.27~0.29;孕甾烷、升孕甾烷含量较低,(孕甾烷+升孕甾烷)/ C_{29} 规则甾烷介于 0.19~0.20; Ga/C_{30} H 太,介于 0.53~0.77(表 5)。 II_A 原油中混 II_B 原油 δ^2H_{alk} 介于-152%~~120‰, Ga/C_{30} H 为 0.60(表 4)。 II_A 原油中混 P_{2w} 原油, δ^2H_{alk} 偏重,介于-160%~~116‰, $\delta^{13}C_{alk}$ 偏轻,介于-31.9%~~29.6‰(表 4)。 II_A 原油中混 I_1b 原油, δ^2H_{alk} 偏轻, δ^2H_{alk} 介于-177%~~129‰(表 4)。

III类原油主要来自 P_{2w} 烃源岩形成的原油,原油 δ^2H_{alk} 轻, δ^2H_{alk} 介于-184%~~144%(表5),与来自陆相侏罗系煤系烃源岩原油正构烷烃氢同位素特征相似(图 14)。 $\delta^{13}C_{alk}$ 偏轻,介于-30.2%~~28.9%。 Pr/Ph 介于 1.2~1.9,含β-胡萝卜烷,β-胡萝卜烷/ nC_{max} 介于 0.09~1.72(表 5)。 $C_{20}TT$ 、 $C_{23}TT$ 分布形态以上升型分布为主,三环萜烷主峰/ $C_{30}H$ 介于 0.17~0.36, $Ga/C_{30}H$ 比值低于 0.20。孕甾烷和升孕甾烷含量较高,(孕甾烷+升孕甾烷)/ C_{29} 规则甾烷介于 0.31~0.50(表 5)。III类原油中混 II_A 类原油, δ^2H_{alk} 偏轻(图 14), δ^2H_{alk} 介于-171%~-124%(表 3)。

表 5 准中地区原油类型及判识指标
Table 5 Classification of crude oil in the hinterland of Junggar Basin hinterland

原油	主力油源	$\delta^2 m H_{alk}/\%$ o	$\delta^{13} C_{alk} / \%$ 0	类异戊二烯	甾烷分布形式与特征指标	萜烷分布形式与特征指标	
类型	工/771四%	O Traik 700	O Calk 700	犬が八一州	田がいたいとしていた。	MINITED TO PAY THE THAT	
		δ²H _{alk} 轻,	重,	Pr/Ph: 2.9~5.2;	C ₂₉ 规则甾烷为主, "V"字型	三环萜烷含量低,三环萜烷主峰	
I类	Jıb 烃源岩	-187~-139。	-30.4~-2	无β-胡萝卜烷。	分布;(孕甾烷+升孕甾烷)	/C ₃₀ H<0.07; C ₁₉ TT 优势;	
			5.9。		/C29 规则甾烷: 0.13~0.32。	Ga/C30H<0.06: C24TeT/C26TT 大:	

						0.70~0.88。
			(A) -5			三环萜烷含量较高,C21TT、C23TT
	P _I f 烃源岩(浅水	$\delta^2 H_{alk} {f \pm}$,	偏重,	Pr/Ph: 1.2~1.5; β-	C ₂₉ 规则甾烷为主,上升型	优势,上升型或山峰形分布,三环
Ⅱ _A 类	湖相)	-159~-111。	-30.5~-2	胡萝卜烷/nC _{max} :	分布;(孕甾烷+升孕甾烷)	萜烷主峰/C30H: 0.24~0.50;
			7.3。	0.15~0.97。	/C ₂₉ 规则甾烷: 0.34~0.69。	Ga/C30H: 0.13~0.30°
			轻,	Pr/Ph: 0.6; β-胡萝	C ₂₉ 甾烷为主,上升型型分	三环萜烷含量较低,C23TT 优势,
Ⅱв类	P _I f 烃源岩(深水	δ ² H _{alk} 偏重,	-34.0~-3	ト烷/nC _{max} :	布;(孕甾烷+升孕甾烷)/C ₂₉	上升型分布,三环萜烷主峰/C ₃₀ H:
	湖相)	-163~-134。	0.8。	0.27~0.29。	规则甾烷: 0.19~0.20。	0.13~0.14; Ga/C ₃₀ H 大: 0.53~0.77;
						C ₂₄ TeT/C ₂₆ TT: 0.34~0.35。
						三环萜烷含量较高,C ₂₃ TT 优势,
		δ²H _{alk} 轻,	偏轻,	Pr/Ph: 1.2~1.9; β-	C ₂₉ 甾烷为主,上升型型分	上升型分布,三环萜烷主峰/C ₃₀ H:
III类	P _{2w} 烃源岩	-184~-144。	-30.2~-2	胡萝卜烷/nCmax:	布;(孕甾烷+升孕甾烷)/C ₂₉	✓ 0.17~0.36; Ga/C ₃₀ H /\:\: 0.13~0.20;
			8.9	0.09~1.72。	规则甾烷: 0.31~0.50。	C ₂₄ TeT/C ₂₆ TT: 0.30~0.46 °
						24101.02011. 0.30 0.100





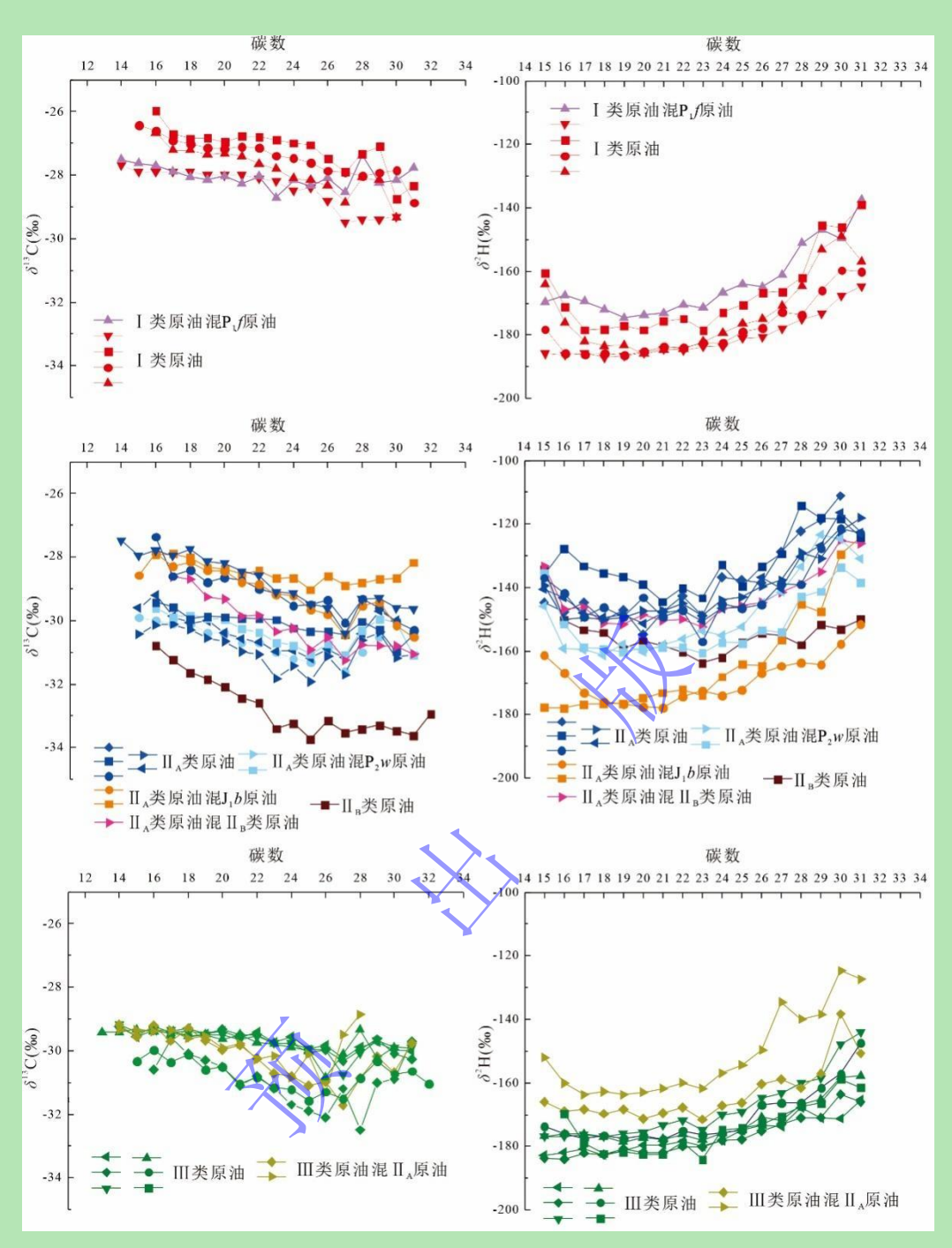


图 14 准中地区不同类型原油正构烷烃碳、氢同位素特征

Fig.14 $\delta^{13}C_{alk}$ and $\delta^{2}H_{alk}$ in different types of crude oil in Junggar Basin hinterland

5 原油正构烷烃氢同位素影响因素及地质意义

沉积环境是影响正构烷烃氢同位素特征最主要的因素,从整体上影响δ²Hak分布范围。通过对准中地区原油正构烷烃氢同位素特征研究,发现不同来源的原油正构烷烃氢同位素呈现出差异性分布特征,能够作为原油类型划分的依据。来自不同原始沉积环境的原油具有不同的正构烷烃氢同位素分布特征(图 15)。来自陆相煤系地层的I类原油正构烷烃氢同位素最轻,来自淡水—半咸水的下乌尔禾组烃源岩的Ⅲ原油正构烷烃氢同位素较轻。但是作为同

样来自半咸水—咸水的风城组烃源岩原油却存在不同的正构烷烃氢同位素分布特征。一般来说,Ga/C30H 比值越大,水体分层越明显,水体越咸,正构烷烃氢同位素应该越重,但是腹部地区部分原油却存在相反的情况,Ga/C30H 比值越大,正构烷烃氢同位素越轻。造成这种现象的原因可能主要与风城组烃源岩在形成之前的沉积环境有关。整个准噶尔盆地二叠纪为陆相湖盆(陈建平等,2016a,b),该沉积期时虽然均为咸水湖相沉积,但是在形成初期为海陆过渡环境的潟湖相沉积,水体较浅,发育白云质泥岩,再因蒸发作用使得较浅的水体含盐度增大,导致作为反映水体分层指标的 Ga/C30H 比值极低。部分潟湖相沉积形成的风城组烃源岩被保留了下来,因此,对于风城组烃源岩来说,Ga/C30H 比值低,反而水体更咸,正构烷烃氢同位素越重(图 16a)。

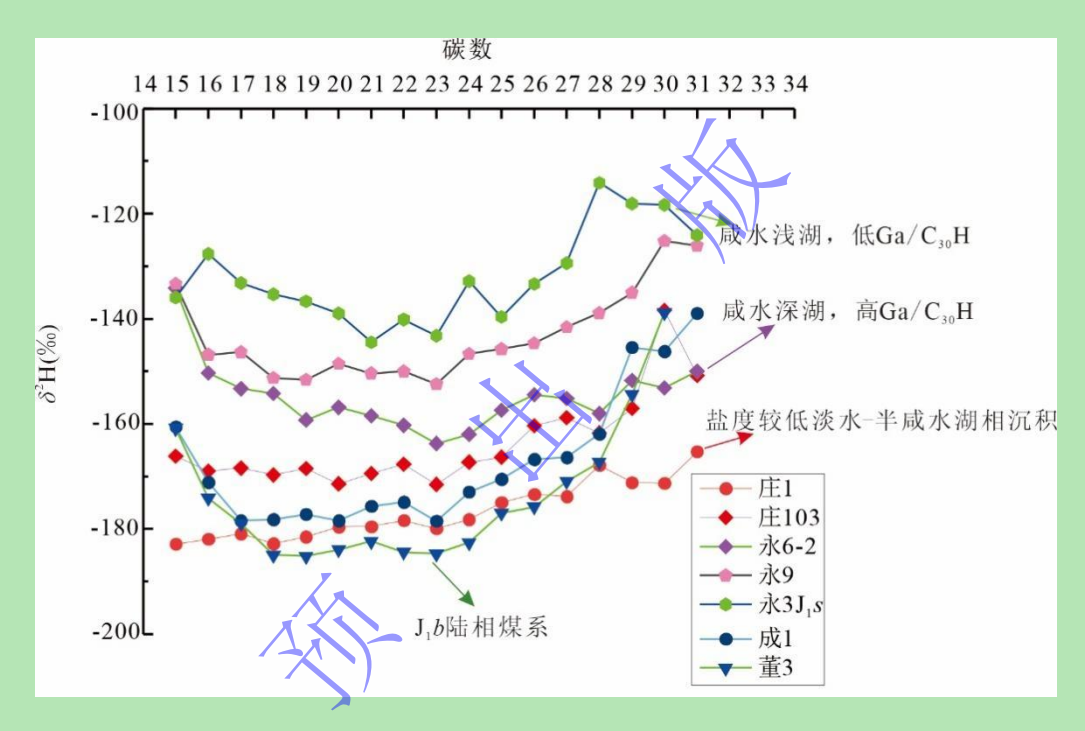


图 15 不同沉积环境正构烷烃氢同位素特征

Fig.15 δ^2 H of *n*-alkanes in various sedimentary environments

来自 P_{2W} 和 $P_{1}f$ 浅水湖相沉积的原油无论是 $Ga/C_{30}H$ 还是 Pr/Ph 都具有高度相似性(图 16a,b),因此仅通过反映环境的生标参数同样也无法解释氢同位素组成之间的差距。准中地区 P_{2W} 烃源岩为浅湖沉积,多为淡水、弱氧化环境,以陆源有机质输入为主。而 $P_{1}f$ 浅水湖相沉积由于碱湖环境下的烃源岩多富含杜氏藻,使得 $P_{1}f$ 浅水湖原油比 P_{2W} 原油更富集重氢,因此 $P_{1}f$ 浅水湖原油 $\delta^{2}H_{alk}$ 重于 P_{2W} 原油。

有机质类型是影响 δ^2 H_{alk}的重要因素。从图 16c 中可以看到同一类原油中,反映细菌或陆源物质输入的参数 C₂₄TeT/(C₂₄TeT+C₂₆TT)越大,原油正构烷烃加权平均值 δ^2 H 越小。说明来自同一沉积环境的原油,不同类型有机质影响原油正构烷烃氢同位素组成特征。三大

类原油正构烷烃加权平均值 δ^2 H 与 C_{27} 甾烷/ C_{29} 甾烷之间没有明显的关系(图 16d),但是将所有类型原油的混源原油加入对比,发现两者呈正相关关系,说明当原油混入其他类型原油时,来自低等藻类的生物越多, δ^2 H 越重。

从原油正构烷烃氢同位素分布曲线上看,均随着碳数增加 δ^2 H 逐渐变重(图 14)。这是因为,从分子角度上讲,由于 C-¹H 键相对 C-²H 较弱,在烃类热成熟演化过程中, ¹H 首先丢失,使干酪根更富集 ²H^[13]。并且由于低碳数正构烷烃稳定,高碳数正构烷烃不稳定,因此随着热演化过程的增加,高碳数正构烷烃分解形成低碳数正构烷烃,使得低碳数正构烷烃单体氢同位素组成较至。但是热演化需要根据实际情况考虑。对于准中地区原油来说,所有样品原油均已达到成熟阶段,通过成熟度参数与 δ^2 H 关系(图 16e)发现,以藻类低等水生生物为主的 P_1f 来源的原油, δ^2 H 与成熟度参数之间没有明显关系,而来自煤系 J_1b 烃源岩的 I 类原油和来自淡水湖泊陆源有机质为主的 P_2w 烃源岩原油随着 C_{29} 208/(20S+20R)增大, δ^2 H 逐渐偏重,并且若原油中混有 J_1b 原油也符合这种规律。





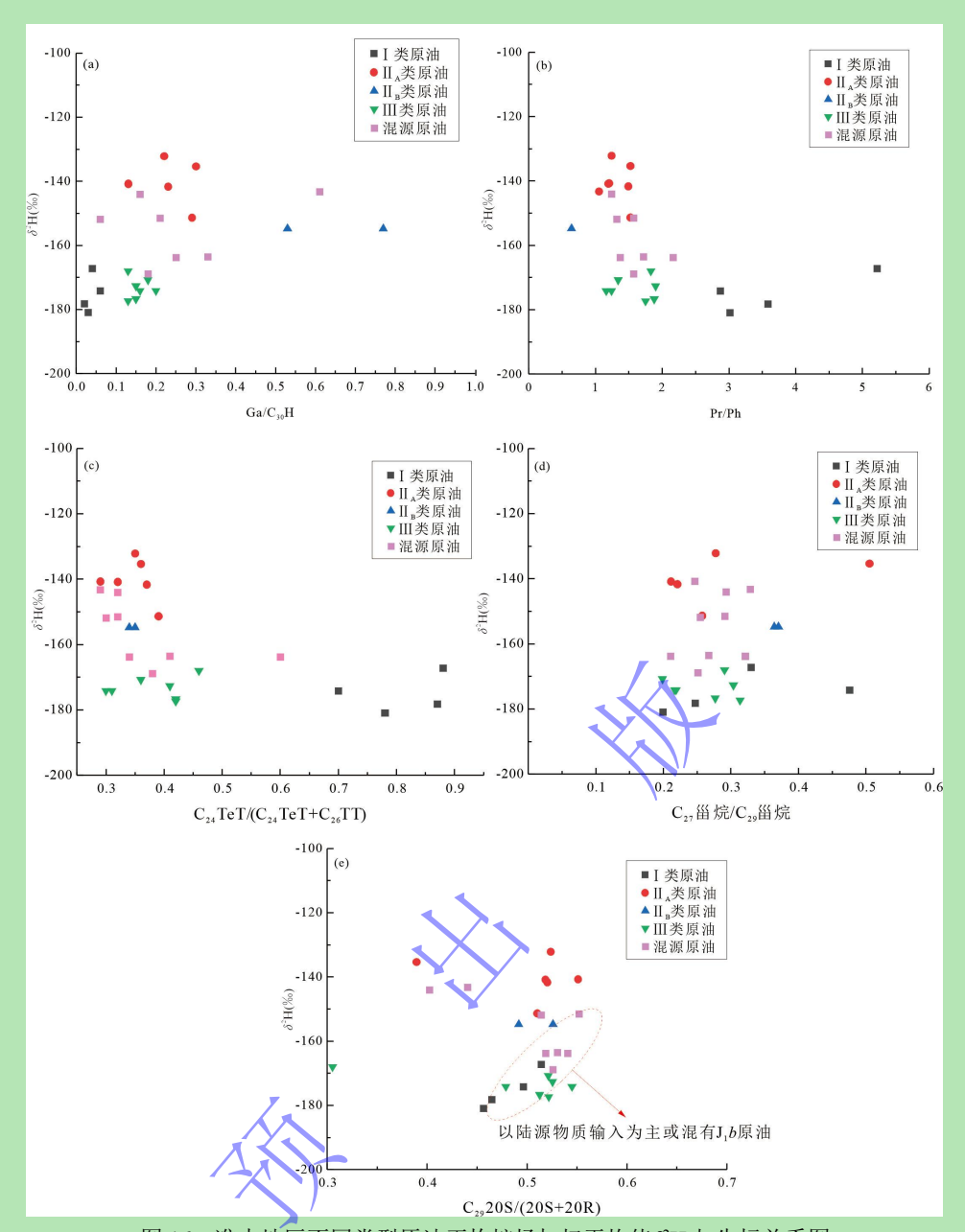


图 16 准中地区不同类型原油正构烷烃加权平均值 δ^2 H 与生标关系图

(a) δ^2 H 与 Ga/C₃₀H 关系图; (b) δ^2 H 与 Pr/Ph 关系图; (c) δ^2 H 与 C₂₄TeT/ (C₂₄TeT+C₂₆TT) 关系图; (d) δ^2 H 与 C₂₇ 甾烷/C₂₉ 甾烷关系图; (e) δ^2 H 与 C₂₉20S/(20S+20R)

Fig.16 Plot of δ^2 H vs. Biomarker from the Junggar Basin hinterland

(a) Plot of δ^2 H vs. Ga/C₃₀H; (b) Plot of δ^2 H vs. Pr/Ph; (c) Plot of δ^2 H vs. C₂₄TeT/($(C_{24}$ TeT+ C_{26} TT); (d) Plot of δ^2 H vs. C₂₇ $\alpha\alpha\alpha$ R/C₂₉ $\alpha\alpha\alpha$ R; (e) Plot of δ^2 H vs. C₂₉20S/(20S+20R)

6 结论

(1) 准噶尔盆地中部地区原油正构烷烃呈单峰型分布,部分原油含有较丰富的β-胡萝卜烷; Pr/Ph 值介于 1.00~2.00,反映弱氧化—弱还原的沉积水体环境。三环萜烷分布可分为上升型、山峰型和山谷型,前两类含量较高,山谷型原油 Ga/C₃₀H 较低。规则甾烷为上升型和 "V"字型分布,前者孕甾烷和升孕甾烷含量高。

- (2) 依据准中地区原油正构烷烃氢同位素(δ²Halk)变化范围(-187‰~-111‰),可分为四种同位素曲线类型。不同构造单元原油氢同位素特征差异明显:盆 1 井西凹陷偏轻且随碳数增加逐渐富集;沙湾凹陷部分井偏轻、部分偏重;莫南凸起不同层位氢同位素组成不同;莫索湾地区多数偏重,仅芳 2 井较轻;东道海子与阜康凹陷原油δ² Halk 轻、δ¹³Calk 重。
- (3) 准中地区原油可划分为三种类型: I类原油源自侏罗系煤系烃源岩(J_1b), δ^2H_{alk} 轻、 $\delta^{13}C_{alk}$ 重, C_{19} TT 优势、 C_{24} TeT 高,无β-胡萝卜烷, G_a/C_{30} H 低,规则甾烷呈"V"型;II 类原油源自二叠系风城组(P_1f), δ^2H_{alk} 重,三环萜烷含量高,含β-胡萝卜烷,规则甾烷为上升型;可进一步按 G_a/C_{30} H 和同位素特征分为两个亚类;III类原油源自下乌尔禾组(P_{2w}), δ^2H_{alk} 轻,三环萜烷含量较低, G_a/C_{30} H<0.3。
- (4) 沉积环境是控制原油正构烷烃氢同位素组成的主要因素,煤系烃源岩(I类) $\delta^2 H_{alk}$ 最轻,淡水—半咸水环境(III类)较轻,半咸水—咸水环境(II类)较重。有机质类型也显著影响氢同位素,细菌/陆源输入参数与 $\delta^2 H_{alk}$ 负相关,而藻类输入使其偏重。热演化作用对 J_1b 和 P_{2w} 原油氢同位素有一定影响,与成熟度正相关,但 P_1f 碱湖原油无明显规律。

致 谢 感谢中国地质科学院国家地质实验测试中心徐学敏副研究员在实验测试过程中提供的帮助。 感谢审稿专家在本文修改过程中提出的宝贵意见

参考文献 (References)

- 包建平,朱翠山,陈希文,等. 2018. 珠江口盆地珠一坳陷原油和烃源岩中 C₂₄ 四环萜烷及其成因[J]. 地球化学,47 (2): 122-133. [Bao Jianping, Zhu Cuishan, Chen Xiwen, et al. 2018. C₂₄ tetracyclic terpanes and their origin in crude oils and source rocks from the Zhu 1 Depression, Pearl River Mouth Basin[J]. Geochimica, 47(2): 122-133.]
- 陈建平,王绪龙,邓春萍,等. 2016a. 准噶尔盆地烃源岩与原油地球化学特征[J]. 地质学报,90 (1): 37-67. [Chen Jianping, Wang Xulong, Deng Chunping, et al. 2016. Geochemical features of source rocks and crude oil in the Junggar Basin, northwest China[J]. Acta Geologica Sinica, 90(1): 37-67.]
- 陈建平,王绪龙,邓春萍,等. 2016b. 准噶尔盆地油气源、油气分布与油气系统[J]. 地质学报,90(3): 421-450. [Chen Jianping, Wang Xulong, Deng Chunping, et al. 2016. Oil and gas source, occurrence and petroleum system in the Junggar Basin, northwest China[J]. Acta Geologica Sinica, 90(3): 421-450.]
- 陈哲龙,柳广弟,卫延召,等. 2017. 准噶尔盆地玛湖凹陷二叠系烃源岩三环萜烷分布样式及影响因素[J]. 石油与天然气地质,38(2): 311-322. [Chen Zhelong, Liu Guangdi, Wei Yanzhao, et al. 2017. Distribution pattern of tricyclic terpanes and its influencing factors in the Permian source rocks from Mahu Depression in the Junggar Basin[J]. Oil & Gas Geology, 38(2): 311-322.]
- 段毅, 张辉, 吴保祥, 等. 2003. 柴达木盆地原油单体正构烷烃碳同位素研究[J]. 矿物岩石, 23 (4): 91-94. [Duan Yi, Zhang Hui, Wu Baoxiang, et al. 2003. Carbon isotopic studies of individual n-alkanes in crude oils from Qaidam Basin[J]. Journal of Mineralogy and Petrology, 23(4): 91-94.]
- 甘应星,赵红静,王志勇,等. 2023. 三塘湖盆地马朗凹陷芦草沟组烃源岩β-胡萝卜烷富集主控因素[J/OL]. 沉积学报. http://kns.cnki.net/kcms/detail/62.1038.P.20231117.0926.002.html. [Gan Yingxing, Zhao Hongjing, Wang Zhiyong, et al. 2023. Main controlling factors for Lucaogou Formation β-carotane enrichment in the Malang Sag, Santanghu Basin[J/OL]. Lanzhou: Acta Sedimentologica Sinica. http://kns.cnki.net/kcms/detail/62.1038.P.20231117.0926.002.html.]
- 郭建军, 陈践发, 陈仲宇, 等. 2007. 古隆 1 井海相地层中高丰度胡萝卜烷的检出及意义[J]. 新疆石油地质, 28 (5): 585-588. [Guo

- Jianjun, Chen Jianfa, Chen Zhongyu, et al. 2007. High Abundance carotane from marine strata in well gulong-1 in Tarim Basin and its geological significance[J]. Xinjiang Petroleum Geology, 28(5): 585-588.]
- 何登发,陈新发,张义杰,等. 2004. 准噶尔盆地油气富集规律[J]. 石油学报,25 (3): 1-10. [He Dengfa, Chen Xinfa, Zhang Yijie, et al. 2004. Enrichment characteristics of oil and gas in Jungar Basin[J]. Acta Petrolei Sinica, 25(3): 1-10.]
- 蒋助生. 1983. 克拉玛依原油中的类胡萝卜烷及其地球化学特征[J]. 石油与天然气地质, 4(2): 151-159. [Jiang Zhusheng. 1983. Perhydro Carotenes in Karamay crude oil and their geochemical characteristics[J]. Oil & Gas Geology, 4(2): 151-159.]
- 寇晨辉. 2017. 准噶尔盆地腹部深层油气来源与成藏模式研究[D]. 南京: 南京大学, 40-46. [Kou Chenhui. 2017. Origins and accumulation model of hydrocarbon in deep strata of the central Junggar Basin, northwestern China[D]. Nanjing: Nanjing University, 40-46.]
- 李博偲,李美俊,唐友军,等. 2022. 烃源岩生物标志化合物分布特征及其地质意义: 以准噶尔盆地腹部地区中二叠统下乌尔禾组为例[J]. 东北石油大学学报,46(5): 68-82, 105. [Li Bocai, Li Meijun, Tang Youjun, et al. 2022. Distribution characteristics and geological significance of biomarkers in source rocks of Lower Wuerhe Formation of Middle Permian in Central Junggar Basin[J]. Journal of Northeast Petroleum University, 46(5): 68-82, 105.]
- 刘刚,卫延召,陈棡,等. 2019. 准噶尔盆地腹部侏罗系—白垩系次生油气藏形成机制及分布特征[J]. 石油学报,40 (8): 914-927. [Liu Gang, Wei Yanzhao, Chen Gang, et al. 2019. Genetic mechanism and distribution characteristics of Jurassic-Cretaceous secondary reservoirs in the hinterland of Junggar Basin[J]. Acta Petrolei Sinica, 40(8): 914-927.]
- 刘惠民, 张关龙, 范婕, 等. 2023. 准噶尔盆地腹部征沙村地区征 10 井的勘探发现与启示[J]. 石油与天然气地质, 44(5): 1118-1128. [Liu Huimin, Zhang Guanlong, Fan Jie, et al. 2023. Exploration discoveries and implications of well Zheng 10 in the Zhengshacun area of the Junggar Basin[J]. Oil & Gas Geology, 44(5): 1118-1128.]
- 刘文锋, 孙德强, 杨朝栋, 等. 2015. 准噶尔盆地腹部石南地区头屯河组岩性地层油气藏成藏特征及成藏模式[J]. 天然气地球科学, 26(12): 2267-2274. [Liu Wenfeng, Sun Deqiang, Yang Chaodong, et al. 2015. Stratigraphic reservoir Formation patterns and the favorable zones of stratigraphic/lithological reservoirs in central Junggar Basin[J]. Natural Gas Geoscience, 26(12): 2267-2274.]
- 卢鸿,李超,肖中尧,等. 2004. 轮南油田代表性原油正构烷烃单体氢同位素组成、分布与母源信息[J]. 中国科学: 地球科学,34 (12): 1145-1150. [Lu Hong, Li Chao, Xiao Zhongyao, et al. 2004. Hydrogen isotopic compositions, distributions and source signals of individual *n*-alkanes for some typical crude oils in Lunnan oilfield, Tarim Basin, NW China[J]. Science China Earth Sciences, 34(12): 1145-1150.]
- 綦艳丽. 2020. 正构烷烃单体烃的氢同位素分析方法及应用[J]. 石油实验地质, 42 (2): 319-324. [Qi Yanli. 2020. Method and application of hydrogen isotope analysis of *n*-alkanes[J]. Petroleum Geology & Experiment, 42(2): 319-324.]
- 秦黎明, 张枝焕, 杨永才, 等. 2008. 淮噶尔盆地中部III区块原油甾烷异常分布特征与成因[J]. 地球科学与环境学报, 30 (4): 373-379. [Qin Liming, Zhang Zhihuan, Yang Yongcai, et al. 2008. Abnormal distribution and its origin of steroids in the block III of central Junggar Basin[J]. Journal of Earth Sciences and Environment, 30(4): 373-379.]
- 师肖飞. 2022. 准噶尔盆地中部油气地球化学特征与油气源精细对比[D]. 北京:中国石油大学(北京), 15-30. [Shi Xiaofei. 2022. Geochemical characteristics of petroleum and oil-source correlation in central Junggar Basin[D]. Beijing: China University of Petroleum (Beijing), 15-30.]
- 宋永, 唐勇, 何文军, 等. 2024. 准噶尔盆地油气勘探新领域、新类型及勘探潜力[J]. 石油学报, 45 (1): 52-68. [Song Yong, Tang Yong, He Wenjun, et al. 2024. New fields, new types and exploration potentials of oil-gas exploration in Junggar Basin[J]. Acta Petrolei Sinica, 45(1): 52-68.]
- 陶国亮, 胡文瑄, 曹剑, 等. 2008. 准噶尔盆地腹部二叠系混源油油源组成与聚集特征研究[J]. 南京大学学报 (自然科学), 44 (1): 42-49. [Tao Guoliang, Hu Wenxuan, Cao Jian, et al. 2008. Source composition and accumulation characteristics of Permian mixed oils in central Junggar Basin, NW China[J]. Journal of Nanjing University (Natural Sciences), 44(1): 42-49.]
- 王保忠,周世新,欧文佳,等. 2014. 准噶尔盆地腹部地区原油单体烃碳、氢同位素组成[J]. 兰州大学学报(自然科学版),50 (6): 809-815. [Wang Baozhong, Zhou Shixin, Ou Wenjia, et al. 2014. Carbon and hydrogen isotopic compositions of individual n-alkanes from crude oil in the central region of Junggar Basin[J]. Journal of Lanzhou University (Natural Sciences), 50(6): 809-815.]

- 王绪龙,康素芳. 2001. 准噶尔盆地西北缘玛北油田油源分析[J]. 西南石油学院学报,23(6): 6-8. [Wang Xulong, Kang Sufang. 2001.

 On the oil source of the Mabei oilfield, northwest Junggar Basin[J]. Journal of Southwest Petroleum Institute, 23(6): 6-8.]
- 王绪龙,支东明,王屿涛,等. 2013. 准噶尔盆地烃源岩与油气地球化学[M]. 北京:石油工业出版社,18-342.. [Wang Xulong, Zhi Dongming, Wang Yutao, et al. 2013. Source rocks and oil-gas geochemistry in Junggar Basin[M]. Beijing: Petroleum Industry Press, 18-342.]
- 王屿涛. 1997. 准噶尔盆地腹部陆南凸起原油成因分类及含油有利区预测[J]. 新疆石油地质, 18 (3): 225-230. [Wang Yutao. 1997. Genetic classification of oils and prediction of favorable oil-bearing zones in Lunan arch in the hinterland of Junggar Basin[J]. Xinjiang Petroleum Geology, 18(3): 225-230.]
- 王作栋,孟仟祥,陶明信,等. 2009. 烃源岩中 C₁₉~C₂₉ 甾烷系列和 25-降藿烷系列的检出及其地质意义[J]. 沉积学报,27 (1): 180-185. [Wang Zuodong, Meng Qianxiang, Tao Mingxin, et al. 2009. Identification of C₁₉-C₂₉ Steranes and 25-norhopanes in Source Rock and Geological Significance[J]. Acta Sedimentologica Sinica, 27(1): 180-185.]
- 吴小奇, 任新成, 刘德志, 等. 2023. 准噶尔盆地沙湾凹陷东部原油地球化学特征和来源[J]. 石油实验地质, 45 (4): 646-655. [Wu Xiaoqi, Ren Xincheng, Liu Dezhi, et al. 2023. Geochemical characteristics and source of crude oil from the eastern Shawan Sag, Junggar Basin[J]. Petroleum Geology & Experiment, 45(4): 646-655.]
- 肖洪,李美俊,杨哲,等. 2019. 不同环境烃源岩和原油中 C₁₉~C₂₃ 三环萜烷的分布特征及地球化学意义[J]. 地球化学,48 (2): 161-170. [Xiao Hong, Li Meijun, Yang Zhe, et al. 2019. Distribution patterns and geochemical implications of C₁₉-C₂₃ tricyclic terpanes in source rocks and crude oils occurring in various depositional environments[J]. Geochimica, 48(2): 161-170.]
- 赵孟军, 黄第藩, 张水昌. 1994. 原油单体烃类的碳同位素组成研究[J]. 石油勘探与开发, 21(3): 52-59. [Zhao Menjun, Huang Difan, Zhang Shuichang. 1994. An on-line carbon isotope study of hydrocarbon monomers in crude oils from Tarim Basin[J]. Petroleum Exploration and Development, 21(3): 52-59.]
- 朱信旭. 2019. 塔里木盆地寒武-奥陶系烃源岩及深层原油正构烷烃的碳-氢同位素特征[D]. 广州: 中国科学院大学(中国科学院 广州 地 球 化 学 研 究 所) ,45-70. [Zhu Xinxu. 2019. Carbon and hydrogen isotopic characteristics of *n*-alkanes in the Cambrian-Ordovician source rocks and deep oils from the Tarim Basin[D]. Guangzhou: Guangzhou Institute of Geochemistry, Chinese Academy of Sciences, 45-70.]
- Aboglila S, Grice K, Trinajstic K, et al. 2010. Use of biomarker distributions and compound specific isotopes of carbon and hydrogen to delineate hydrocarbon characteristics in the East Sirte Basin (Libya)[J]. Organic Geochemistry, 41(12): 1249-1258.
- Asif M, Grice K, Fazeelat T. 2009. Assessment of petroleum biodegradation using stable hydrogen isotopes of individual saturated hydrocarbon and polycyclic aromatic hydrocarbon distributions in oils from the Upper Indus Basin, Pakistan[J]. Organic Geochemistry, 40(3): 301-311.
- Bohacs K M, Carroll A R, Neal J E, et al. 2000. Lake-Basin type, source potential, and hydrocarbon character: An integrated sequence-stratigraphic-geochemical framework[M]//Gierlowski-Kordesch E H, Kelts K R. Lake Basins through space and time. Houston: AAPG Studies in Geology, 3-33.
- Brocks J J, Schaeffer P. 2008. Okenane, a biomarker for purple sulfur bacteria (Chromatiaceae), and other new carotenoid derivatives from the 1640 Ma Barney Creek Formation[J]. Geochimica et Cosmochimica Acta, 72(5): 1396-1414.
- Dawson D, Grice K, Wang S X, et al. 2004. Stable hydrogen isotopic composition of hydrocarbons in torbanites (Late Carboniferous to Late Permian) deposited under various climatic conditions[J]. Organic Geochemistry, 35(2): 189-197.
- Duan Y. 2000. Organic geochemistry of recent marine sediments from the Nansha Sea, China[J]. Organic Geochemistry, 31(2/3): 159-167.
- Duan Y, Ma L H. 2001. Lipid geochemistry in a sediment core from Ruoergai Marsh deposit (eastern Qinghai-Tibet Plateau, China)[J]. Organic Geochemistry, 32(12): 1429-1442.
- Feng C, Lei D W, Qu J H, et al. 2019. Controls of paleo-overpressure, faults and sedimentary facies on the distribution of the high pressure and high production oil pools in the Lower Triassic Baikouquan Formation of the Mahu Sag, Junggar Basin, China[J]. Journal of Petroleum Science and Engineering, 176: 232-248.
- Hu T, Pang X Q, Yu S, et al. 2016. Hydrocarbon generation and expulsion characteristics of Lower Permian P₁f source rocks in the

- Fengcheng area, northwest margin, Junggar Basin, NW China: Implications for tight oil accumulation potential assessment[J]. Geological Journal, 51(6): 880-900.
- Hughes W B, Holba A G. 1988. Relationship between crude oil quality and biomarker patterns[J]. Organic Geochemistry, 13(1/2/3): 15-30.
- Jia W L, Wang Q L, Peng P A, et al. 2013. Isotopic compositions and biomarkers in crude oils from the Tarim Basin: Oil maturity and oil mixing[J]. Organic Geochemistry, 57: 95-106.
- Jia W L, Chen S S, Zhu X X, et al. 2017. D/H ratio analysis of pyrolysis-released *n*-alkanes from asphaltenes for correlating oils from different sources[J]. Journal of Analytical and Applied Pyrolysis, 126: 99-104.
- Li M W, Huang Y S, Obermajer M, et al. 2001. Hydrogen isotopic compositions of individual alkanes as a new approach to petroleum correlation: Case studies from the western Canada Sedimentary Basin[J]. Organic Geochemistry, 32(12): 1387-1399.
- Moldowan J M, Seifert W K, Gallegos E J. 1985. Relationship between petroleum composition and depositional environment of petroleum source rocks[J]. AAPG Bulletin, 69(8): 1255-1268.
- Peters K E, Walters C C, Moldowan J M. 2004. The biomarker guide[M]. 2nd ed. Cambridge: Cambridge University Press, 1-471.
- Peters K E, Hostettler F D, Lorenson T D, et al. 2008. Families of Miocene Monterey crude oil, seep, and tarball samples, coastal California[J]. AAPG Bulletin, 92(9): 1131-1152.
- Powell T G, McKirdy D M. 1973. Relationship between ratio of pristane to phytane, crude oil composition and geological environment in Australia[J]. Nature Physical Science, 243(124): 37-39.
- Requejo A G, Hieshima G B, Hsu C S, et al. 1997. Short-chain (C₂₁ and C₂₂) diasteranes in petroleum and source rocks as indicators of maturity and depositional environment[J]. Geochimica et Cosmochimica Acta, 61(13): 2653-2667.
- Samuel O J, Kildahl-Andersen G, Nytoft H P, et al. 2010. Novel tricyclic and tetracyclic terpanes in Tertiary deltaic oils: Structural identification, origin and application to petroleum correlation[J]. Organic Geochemistry, 41(12): 1326-1337.
- Schimmelmann A, Sessions A L, Boreham C J, et al. 2004. D/H ratios in terrestrially sourced petroleum systems[J]. Organic Geochemistry, 35(10): 1169-1195.
- Sessions A L. 2016. Factors controlling the deuterium contents of sedimentary hydrocarbons[J]. Organic Geochemistry, 96: 43-64.
- Tao K Y, Cao J, Wang Y C, et al. 2016. Geochemistry and origin of natural gas in the petroliferous Mahu Sag, northwestern Junggar Basin, NW China: Carboniferous marine and Permian lacustrine gas systems[J]. Organic Geochemistry, 100: 62-79.
- Tao S Z, Wang C Y, Du J G, et al. 2015. Geochemical application of tricyclic and tetracyclic terpanes biomarkers in crude oils of NW China[J]. Marine and Petroleum Geology, 67: 460-467.
- ten Haven H L, de Leeuw J W, Sinninghe Damsté J S, et al. 1988. Application of biological markers in the recognition of palaeohypersaline environments[J]. Geological Society, London, Special Publications, 40(1): 123-130.
- Vinnichenko G, Jarrett A J M, van Maldegem L M, et al. 2021. Substantial maturity influence on carbon and hydrogen isotopic composition of *n*-alkanes in sedimentary rocks[J]. Organic Geochemistry, 152: 104171.
- Wang G L, Chang X C, Wang T G, et al. 2015. Pregnanes as molecular indicators for depositional environments of sediments and petroleum source rocks[J]. Organic Geochemistry, 78: 110-120.
- Woodhouse A D, Oung J N, Philp R P, et al. 1992. Triterpanes and ring-A degraded triterpanes as biomarkers characteristic of Tertiary oils derived from predominantly higher plant sources[J]. Organic Geochemistry, 18(1): 23-31.
- Yu S, Wang X L, Xiang B L, et al. 2017. Molecular and carbon isotopic geochemistry of crude oils and extracts from Permian source rocks in the northwestern and central Junggar Basin, China[J]. Organic Geochemistry, 113: 27-42.
- Zhang Y D, Sun Y G, Liu Q. 2021. Distribution and carbon isotope composition of pregnane in carbonate-evaporitic rocks from the Bonan Sag, Bohai Bay Basin, eastern China: Insights into sources and associated lake environments[J]. Organic Geochemistry, 151: 104127.
- Zhang Z D, Gu Y L, Jin J, et al. 2022. Assessing source and maturity of oils in the Mahu Sag, Junggar Basin: Molecular concentrations, compositions and carbon isotopes[J]. Marine and Petroleum Geology, 141: 105724.

Molecular Isotope (δ^2 H) Composition Traits and Geological

Significance of Petroleum *n*-alkanes in Junggar Basin Hinterland, NW China

CHEN XuanYu¹, CHEN JianFa¹, SHI XiaoFei², WANG ZiGen¹

- 1. China University of Petroleum (Beijing), Beijing 102249, China
- 2. CNOOC EnerTech-Drilling & Production Co. CNOOC Central Laboratory (Shanghai), Shanghai 200941, China

Abstract: [Objective] The geological conditions in the Junggar Basin hinterland are diverse, and the crude oil properties are complex. To address the issues of crude oil type classification and oil and gas source identification in this area, a study was conducted on the hydrogen isotopic characteristics of n-alkanes ($\delta^2 H_{alk}$) in the mixed-source crude oils from the Junggar Basin hinterland. [Methods] Gas Chromatography-Mass Spectrometry (GC-MS), Gas Chromatography-Isotope Ratio Mass Spectrometry (GC-IRMS) and Gas Chromatography-Thermal Conversion-Isotope Ratio Mass Spectrometry (GC-TC-IRMS) techniques were employed to analyze biomarker compounds and conduct hydrogen isotope analysis of n-alkane monomers in 33 crude oil samples from different strata. [Results and Discussions] Three types of crude oil were identified in the hinterland Junggar Basin: Type I originated from the Jurassic coal-bearing source rocks (J_1b) , with the lightest hydrogen isotopic composition due to the significant input of terrestrial higher-plant organic matter; Type II mainly originated from the Permian Fengcheng Formation source rocks (P1/), with Type IIA derived from lacustrine sedimentary environments in transitional marine-terrestrial settings, featuring a low Ga/C₃₀H ratio and relatively heavy hydrogen isotopic composition, while Type II_B had a lighter hydrogen isotopic composition and a higher Ga/C₃₀H ratio; Type III crude oil mainly originated from the Permian Lower Wuerhe Formation source rocks (P2w), with a light hydrogen isotopic composition of n-alkanes. [Conclusions] The combination of hydrogen isotopic analysis of n-alkanes and biomarker compound analysis is able to precisely classify crude oil types and clarify their sources, which is highly significant for oil source tracking and crude oil classification throughout the Junggar Basin.

Key words: Junggar Basin hinterland; hydrogen isotope of normal alkane; biomarker; mixed source crude oil classification; factors affecting hydrogen isotope

Corresponding author: CHEN JianFa, E-mail: jfchen@cup.edu.cn